

Aspecte de programare cu PostScript (eseu)

Vlad Bazon*

iunie 2019

Nu avem aici, un „*alt* tutorial” – că nu plecăm de la **Hello, world!**, sau „*iată un pătrat*” (ca pentru cazul când n-ai avut de-a face cu nici un limbaj de programare). Prezintă doar o experiență proprie (și pe cât este posibil - originală) de investigare și înțelegere a limbajului PS (*PostScript*), considerând de la bun început că matematica elementară (și deprinderea de a pune și analiza „probleme”) este inevitabilă și asumând (iarăși, fără cine știe ce griji didactice) deprinderea de a folosi diverse programe utilitare și interpretoare (uzuale pe un sistem Ubuntu-Linux), având în vedere că PS este cumva „intim” legat de ecosistemul TeX.

Avem mai degrabă un *eseu*; elementele de limbaj PS nu sunt expuse în mod sistematic și cu exemplificări simple (ca în tutoriale), ci sunt investigate pe măsură ce ele trebuie practicate pentru a avansa în realizarea proiectului propus inițial: a constitui o anumită figură geometrică (dar mai complicată decât un pătrat) și a o eticheta astfel încât să poată fi integrată onorabil (plecând de la un fișier LaTeX) într-un document PDF.

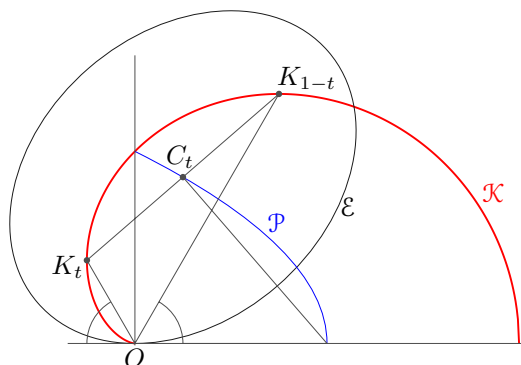
*vlad.bazon@gmail.com

Cuprins

1	Componentele programului (sau proiectului)	3
2	Discuție despre operatori, variabile și transformări (pe seama producerii elipsei dintr-un cerc)	4
3	Producerea și trasarea liniilor (fișierul <code>grafic.eps</code>)	7
3.1	Eroare, experiment și descoperire	11
3.2	De la semicardioidă la cardioidă, cu <code>pathforall</code>	12
3.3	De la semicardioidă la cardioidă, simetrizând față de axă . . .	15
4	Etichetarea directă, folosind un font obișnuit	16
5	Încapsularea în figură a notațiilor matematice	18
5.1	Citirea valorilor <code>%%BoundingBox</code>	20
5.2	Poziționarea etichetelor pe figură	22
6	Arcele de parabolă sunt curbe Bézier pătratice	25
7	Arcele de parabolă, prin cubice Bézier	26
8	Instrucțiunea <code>curveto</code>	27
8.1	Rățiunea de a fi a instrucțiunii <code>curveto</code> (litera 'S')	29
9	Aproximarea unei curbe prin cubice Bézier	31
10	Aproximarea semicardioidii prin cubice Bézier	33
11	Aproximarea semicardioidii folosind MetaPost	36
	Anexă	41
A	De la cerc, la cardioidă	41
B	Proprietățile semicardioidii	42

1 Componentele programului (sau proiectului)

Elipsa \mathcal{E} este tangentă axei semicardioidei \mathcal{K} în nodul acesteia O , are focarele K_t și K_{1-t} situate pe \mathcal{K} , iar centrul ei C_t este situat pe arcul de parabolă \mathcal{P} (unde $t \in [0, 1]$ generează într-un anumit mod punctele lui \mathcal{K}):



Vom mai preciza pe parcurs, contextul matematic al figurii (expus și separat, în [Anexa B](#)). Programul *PostScript* care a produs figura postată mai sus este compus astfel:

- fișierul principal ‘`grafic.eps`’, prin care se generează și se trasează curbele (elipsa, cardioida și parabola), segmentele și arcele importante; vom viza două moduri de generare: „prin puncte” (cu instrucțiuni `lineto`) respectiv, prin cubice Bézier (folosind `curveto`);
- un anumit număr de fișiere EPS asociate etichetelor matematice pe care vrem să le plasăm pe grafic - fișiere pe care le vom obține „automat”, printr-un script *Bash* care iterează pe etichetele respective un anumit șablon de fișier LaTeX, invocând compilatorul `latex` și programul `dvips`;
- fișierul ‘`pack.eps`’ care încapsulează în final, fișierele EPS menționate mai sus; pasându-l programului `ps2pdf` rezultă fișierul PDF, precum cel vizualizat grafic mai sus.

Urmează, față de acest plan inițial de lucru, să detaliem, să investigăm și desigur... să divagăm.

Limbaajul *PostScript* (PS) servește pentru a descrie o pagină; de regulă, imprimanta va ejecta pagina rezultată prin interpretarea fișierului care i-a fost transmis. **EPS** rezolvă problema încapsulării de fișiere PS, permițând includerea în siguranță (fără ejectare și fără conflicte între parametrii grafici) a unor pagini PS într-o alta. Pentru a respecta formatul EPS, mai întâi declarăm la începutul fișierelor noastre:

```

%!PS-Adobe-2.0 EPSF-2.0
%%BoundingBox: 75 80 320 248

```

Vom arăta la momentul potrivit, cum obținem valorile necesare pentru `BoundingBox` (nu neapărat, cele precizate mai sus) și cum le folosim în vederea încapsulării finale a fișierelor respective.

2 Discuție despre operatori, variabile și transformări (pe seama producerii elipsei dintr-un cerc)

Definim întâi o procedură pentru a obține \mathcal{E} , o elipsă tangentă în O axei Ox , având centrul C_t și semiaxa mică b date, cu semiaxa mare fixată $a = 1$ și astfel încât panta axei mari este $\operatorname{tg} \sqrt{b/a}$:

```

/ellipse { % tangentă în O axei Ox, cu semiaxele și centrul date
  /Sb exch def % Preia din stivă semiaxa mică, b. Semiaxa mare este a=1.
  /yC exch def % Coordonatele centrului (preluate pe rând,
  /xC exch def % din stiva operanzilor).
  /savematrix matrix currentmatrix def % salvează CTM
  xC yC translate % translatează în centrul elipsei
  Sb sqrt 1 atan rotate % rotește cu arctg √b/a
  1 Sb scale % scalează orizontal cu a=1 și vertical cu b
  0 0 1 0 360 arc % centru (0,0), „rază” 1 (=a pe Ox, =b pe Oy)
  savematrix setmatrix % restaurează CTM („current transform matrix”)
} bind def

```

În limbajele uzuale definiția de mai sus ar arăta cam așa: `ellipse(xC, yC, Sb) { ... }`; un apel ca `ellipse(5, 7, 0.75)` creează în memorie un „cadru-stivă” în care se depun valorile 5, 7 și respectiv 0.75 și apoi pune în execuție blocul de instrucțiuni identificat prin `'ellipse'`; în interiorul acestuia, variabilele locale `'xC'`, etc. vor fi asignate cu valorile transmise la apel în cadrul-stivă; la încheierea executării codului respectiv, cadrul-stivă asociat la apel va fi eliminat și controlul va reveni programului apelant.

Spre deosebire de limbajele obișnuite—în care „cadrele-stivă” sunt asociate în mod implicit și sunt „invizibile”—în *PostScript* stiva are o natură explicită și sunt prevăzute și menținute pe parcursul execuției mai multe stive, între care: o stivă pentru operanzi, una pentru operatori sau proceduri și o stivă (sau „dicționar”) de fonturi.

Definiția de mai sus este depusă întâi, termen după termen, pe stiva operanzilor: `/ellipse, {, ..., }` și când se va întâlni apoi `def`, interpretorul va proceda astfel: va accesa dicționarul operatorilor și va căuta aici termenul `'ellipse'`; dacă acesta nu există, atunci va crea o nouă intrare de forma „cheie \mapsto valoare”, punând drept „cheie” numele `ellipse` și drept „valoare” secvența de instrucțiuni cuprinsă între `'{'` și `'}'`.

De aici încolo, când va fi întâlnit ulterior în programul curent, termenul `'ellipse'` va fi interpretat ca „pointer” la secvența de instrucțiuni asociată astfel în dicționarul operatorilor (conducând la executarea acestor instrucțiuni);

dar aceasta *nu* scutește etapa prealabilă, de căutare a termenului întâlnit în dicționarul operatorilor – cu această excepție: dacă înainte de **def** este întâlnit **bind** (ca și în cazul de față), atunci operatorii PS *predefiniți* întâlniți în spate sunt înlocuiți imediat prin „pointeri” la codul asociat lor ca „valoare” în dicționarul operatorilor (scutind în acest caz, căutarea ulterioară în dicționar; se accelerează astfel, execuția procedurii în care sunt invocați).

Dacă după definiția de mai sus ar urma o invocare ca de exemplu **5 7 0.75 ellipse**, interpretorul ar depista cheia **'ellipse'** în dicționarul operatorilor și ar începe să execute instrucțiunile care i-au fost asociate; primele trei instrucțiuni, **/Sb exch def** etc., sunt interpretate conform mecanismului general descris mai sus, dar cu o anumită modificare (de observat că acum lipsesc acoladele care încadrează de obicei blocul de instrucțiuni al procedurii): se înființează în dicționarul operatorilor câte o nouă cheie (**'Sb'** etc.), careia i se asociază ca „valoare” *nu* pointerul la codul operatorului predefinit **exch** (ca în cazul când s-ar fi întâlnit **{exch}**), ci efectul executării acestuia urmată de descărcarea din stiva operanzilor determinată de operatorul final **def**. Sunt modelate astfel atribuiri uzuale, **Sb = 0.75**, etc.

Ne putem clarifica mecanismele folosite în *PostScript* experimentând în sesiuni de lucru cu **Ghostscript**. De exemplu, să introducem pe stivă coordonatele unui punct, (5, 7) și să imităm mecanismul de „atribuire” tocmai descris pentru a crea o variabilă *y* legată la ordonata punctului (modelând atribuirea uzuală *y=7*):

```
vb@Home:~/keps$ gs -q
GS> 5 7 /y
GS<3> pstack % afișează conținutul stivei, începând din vârful acesteia
/y
7
5
GS<3> exch pstack % 'exch' schimbă între ele primele două valori din stivă
7
/y
5
GS<3> def pstack % 'def' mută în stiva operatorilor cheia 'y', asociindu-i valoarea 7
5 % în stivă a rămas doar abscisa punctului
GS<1> y = % operatorii '=' și '==' afișează valoarea asociată cheii indicate
7
GS<1> quit
```

În procedura **ellipse** redată mai sus, elipsa este descrisă pe baza operatorului predefinit **arc**; acesta are sintaxa „*x_c y_c r α₁ α₂ arc*” și are ca efect vizual producerea unui arc de cerc de rază *r*, cu centrul (*x_c, y_c*), începând în sens antiorar de la α_1° și până la α_2° ; pentru $\alpha_1 = 0$ și $\alpha_2 = 360$ se obține întregul cerc („efectul” real este crearea unei variabile de memorie—de tipul **'path'**, sau „contur”—conținând coordonatele punctelor pe baza cărora se vor trasa curbele Bézier necesare; trasarea efectivă se declanșează prin invocarea ulterioară a operatorului **stroke**).

Dar cât de „mare” să fie cercul constituit astfel? Raza **r** este un număr

(abstract, în matematică) și n-avem decât să-l mărim dacă vrem un cerc „mai mare”; dar în tipografie, când avem de-a face cu o pagină de hârtie (sau cu o pagină de ecran), unitatea de măsură devine esențială. În *PostScript* pagina de hârtie este asociată cadranelui întâi al unui sistem de coordonate xOy cu axa Ox peste marginea de jos a paginii și axa Oy peste marginea stângă a acesteia; *unitatea de măsură* este $1\text{ bp} = \frac{1}{72}\text{ inch}$ ($1\text{ inch} = 2.54\text{ centimetri}$); arcele sunt măsurate în grade.

Sunt prevăzute *transformări ale sistemului de coordonate*, în două variante (aparent, distincte): putem utiliza matrici (de legătură între coordonatele vechi și cele noi), având astfel și un procedeu simplu pentru a salva și a restaura sistemul de coordonate curent (salvăm „matricea de transformare curentă”); sau, putem folosi operatorii specializați **translate** (care mută originea în punctul indicat), **rotate** (care rotește axele în jurul originii actuale, cu unghiul indicat) și **scale** (prin care se poate stabili o nouă unitate de măsură, pe o axă, pe cealaltă, sau pe ambele axe de coordonate).

Operatorul **arc** produce un cerc (sau un arc de cerc) în sistemul de coordonate *inițial*, dar dacă scalăm în prealabil cu a pe orizontală și cu b pe verticală atunci, în sistemul de coordonate rezultat va fi produsă o elipsă cu semiaxele a și b .

În cazul nostru, a fost necesar să rotim elipsa în jurul centrului său, cu un anumit unghi și a trebuit să ținem seama de faptul că **rotate** rotește axele în jurul *originii* sistemului de coordonate curent (nu în jurul unui alt punct) - ordonând transformările necesare astfel: întâi am translatat originea inițială în punctul ale cărui coordonate le preluasem de pe stivă în $x\text{C}$ și $y\text{C}$; apoi am rotit în jurul noii origini cu unghiul $\arctan \sqrt{b}$; apoi am folosit **1 Sb scale**, lăsând unitatea de măsură pe orizontală egală cu 1 pentru că semiaxa mare este 1 și punând-o egală cu **Sb** (semiaxa mică) pe verticală; în final, am invocat **0 0 1 0 360 arc** - obținând „cerc” cu centrul (0,0) (adică originea sistemului de coordonate *curent*) și de „rază” 1 (dar 1 pe verticală înseamnă acum valoarea din **Sb**, deci rezultă nu cerc, ci elipsă).

De încă un lucru a trebuit să mai ținem seama: cu ce *grosime* urmează să trasăm elipsa obținută? Grosimea implicită a liniei este de 1 bp ¹ și poate fi setată altfel prin operatorul **setlinewidth**; dar valoarea respectivă se raportează la scalarea *curentă*, astfel că în cazul nostru (când unitatea de măsură diferă între cele două axe) elipsa ar fi trasată (când se va invoca **stroke**) cu o „peniță” de grosime variabilă. Pentru a evita aceasta, înainte de a efectua transformările arătate mai sus am salvat *matricea transformării curente* (desemnată prin **CTM**) și am restaurat-o în final, după producerea elipsei; procedând astfel, scalările întreprinse în interior sunt uitate.

Pentru a testa procedura **ellipse**, adăugăm în fișierul '**grafic.eps**' de exemplu:

```
72 72 scale % noua unitate de măsură este de 72bp (= 1 inch = 2.54cm)
```

¹într-adevăr, **GS> currentlinewidth pstack** ne dă 1.0)

```

2 6 2 ellipse % centrul este la 2in de marginea stângă și 6in de baza paginii
.3 setlinewidth % grosimea „reală” a liniei este 0.3*72=21.6bp
.4 setgray % nuanța de negru pentru trasarea liniei
stroke % trasează conturul (pe ecran, sau pe hârtie)

```

Transmițând fișierul imprimantei—`lpr graphic.eps`—obținem o pagină conținând elipsa respectivă². Am prevăzut o grosime așa de mare (21.6bp = 0.762 milimetri) pentru trasarea elipsei, în scopul de a testa cum arată elipsa dacă n-am mai salva/restaura CTM:



În stânga imaginii avem elipsa produsă prin programul de mai sus (cu salvare și restaurare CTM), iar în dreapta aceeași elipsă (deplasată puțin spre dreapta, prin `translate`), produsă printr-o dublură a programului în care însă, am eliminat cele două linii pentru salvare/restaurare CTM. Desigur, aici am redat imaginea cu o anumită micșorare (pe hârtie, grosimea liniei pentru prima elipsă este de 7-8 milimetri), dar se vede suficient de bine că în cazul elipsei din dreapta grosimea liniei este variabilă (ajungând de două ori mai mare pe axa mare, decât pe axa mică).

3 Producerea și trasarea liniilor (fișierul `graphic.eps`)

În §2 am descris elipsa asumând că semiaxa mică și centrul ei sunt *transmise* prin stivă (vrând să experimentăm și să lămurim aspecte privitoare la stive, proceduri, variabile și transformări PS). De fapt, toate elementele necesare programului ‘`graphic.eps`’ planificat în §1, decurg din descrierea parametrică a punctelor semicardioidei \mathcal{K} (v. [Anexa B](#)):

$$K(t) = \left(X(t) = 2t(2t - 1), Y(t) = 4t\sqrt{t(1 - t)} \right), t \in [0, 1]$$

Semiaxa mare a lui \mathcal{E} este $a = 1$, semiaxa mică este $b = 4t(1 - t)$ iar focarele sunt punctele $K(t)$ și $K(1 - t)$. Centrele elipselor \mathcal{E} (când t variază) aparțin arcului de parabolă \mathcal{P} ale cărui puncte sunt date de ecuația $y = \sqrt{1 - x}$, pentru $x \in [0, 1]$.

Corespunzător, în `graphic.eps` am avea aceste definiții inițiale:

²precizarea „dacă imprimanta dispune de un interpretor propriu de PS” a devenit inutilă, în zilele noastre

```

%!PS-Adobe-2.0 EPSF-2.0
%%BoundingBox: 50 53 387 165

```

```

% K(t) are ecuațiile:  $X(t) = 2t(2t - 1)$ ,  $Y(t) = 4t\sqrt{t(1-t)}$ ,  $t \in [0, 1]$ 
/X {2 mul dup 1 sub mul} bind def % t este dat în vârful stivei
/Y {dup dup 1 exch sub mul sqrt mul 4 mul} bind def

```

```

% focarele K(t) și K(1-t), semiaxa mică, centrul elipsei și arcele razelor focale
/tL 0.25 def % un t între 0 și 1 (vizând arcul lui K(t) din stânga axei Oy)
/tR {1 tL sub} bind def % 1-t (vizând arcul lui K(t) din dreapta axei Oy)
/Sb {4 tL tR mul mul} bind def % semiaxa mică a elipsei,  $S_b = 4t(1-t)$ 
/x1 {tL X} def /y1 {tL Y} def % coordonatele punctului K(tL)
/x2 {tR X} def /y2 {tR Y} def % coordonatele punctului K(tR)
/xC {x1 x2 add 2 div} bind def % coordonatele mijlocului C(t) al
/yC {y1 y2 add 2 div} bind def % segmentului K(tL)—K(tR)
/arc2 {y2 x2 atan} bind def % arcul dintre Ox și raza focarului K(tR)

```

```

% vom marca unele puncte, prin mici discuri
/rp {1.2 72 div} bind def % raza discului prin care marcăm un punct
/punct {0.3 setgray rp 0 360 arc fill} bind def

```

Am ales pentru t o valoare convenabilă, $tL=0.25$; am obținut coordonatele punctelor $K(tL)$ și $K(tR=1-tL)$ (aflate pe \mathcal{K} în stânga și în dreapta axei Oy), aplicând operatorii X și Y valorilor tL și tR .

$y2\ x2\ atan$ dă $\alpha_2^{\circ} = \arctg \frac{y2}{x2}$, astfel că $0\ 0\ 0.25\ 0\ arc2\ arc$ va produce arcul de cerc cu centrul în originea sistemului curent de coordonate, cu raza 0.25 (față de unitatea de măsură aflată în uz în momentul trasării ulterioare, prin `stroke`), începând în sens antiorar de la axa Ox și încheiat la α_2° . Arcele produse astfel prin `arc2` și `arc1=180°-arc2` vor marca unghiurile cu Ox ale razelor polare corespunzătoare focarelor lui \mathcal{E} (unghiuri care sunt *egale*, însemnând că \mathcal{E} este *tangentă* în O la Ox).

Pentru a putea marca anumite puncte, am definit procedura `punct` (nu există un operator *predefinit* care să „traseze” un punct): folosind `arc fill`, se trasează un disc (cerc umplut cu o nuanță de gri închis) cu raza foarte mică (puțin peste `1bp`), având centrul în punctul ale cărui coordonate vor fi preluate de pe stivă.

Procedurile introduse mai sus `xC`, `yC` și `Sb` ne dau, pentru \mathcal{E} , coordonatele centrului și semiaxa mică - încât putem acum înlocui procedura `'ellipse'` din §2, cu:

```

% elipsa cu semiaxe a=1 și b=Sb, centrată în (xC,yC), tangentă în O la Ox
/Ellipse {
  /savematrix matrix currentmatrix def % salvează CTM
  xC yC translate % translatează în centrul elipsei
  Sb sqrt 1 atan rotate % rotește cu  $\arctan \sqrt{b/a}$ 
  1 Sb scale % scalează orizontal cu a și vertical cu b
  0 0 1 0 360 arc % „cerc” de centru (0,0), „rază” 1 (=a pe Ox și =b pe Oy)
  savematrix setmatrix % restaurează CTM („current transform matrix”)
} bind def

```


Producem semicardioida prin puncte cât mai apropiate (unite prin segmente), generând (prin **repeat**) $N=1000$ de puncte ale lui \mathcal{K} :

```
% aproximare poligonală (cu N=1000 de segmente) a semicardioidei
/Kardioid {
  /N 1000 def
  /dt 1 N div def % pasul dt = 0.001
  /t 0 def % t va parcurge intervalul (0,1), cu pasul dt
  0 0 moveto
  N { /t t dt add def % t = t+dt
      t X t Y lineto % segment de la K(t) la K(t+dt)
  } repeat
} bind def
```

Generăm (tot „punct cu punct”) și \mathcal{P} , unind punctul curent (inițializat în vârful parabolei) cu cel corespunzător prin $\sqrt{1-x}$ abscisei depuse pe stivă la iterația următoare (prin mecanismul asigurat de **for**), coborând abscisa cu câte 0.01 dinspre 1 spre 0 (obținând o aproximare cu 100 de segmente a lui \mathcal{P}):

```
% arcul de parabolă  $y = \sqrt{a(a-x)}$ ,  $x \in [0, a]$  unde aici,  $a = 1$ 
/Parabola {
  1 0 moveto % vârful parabolei este punctul (1,0)
  1 -.01 0 {
    dup neg 1 add sqrt lineto
  } for
} bind def
```

Precizăm că **From Step To {Proc} for** decurge cam așa: se depune pe stivă valoarea inițială **From** (aici, abscisa 1) și se execută **Proc**; apoi valoarea din vârful stivei este „majorată” cu **Step** (aici cu -0.01 , rezultând abscisa utilizată în următoarea iterație în **Proc**) și dacă astfel nu se „depășește” **To**, se repetă executarea secvenței **Proc**; ș.a.m.d. Pe parcurs, în vârful stivei găsim abscisa x curentă (1, apoi 0.99, 0.98, ..., 0), pe care **Proc** o poate folosi adăugând-o încă o dată în stivă (prin **dup**).

Bineînțeles că putem testa **grafic.eps** în orice moment, adăugând o secvență în care mărim convenabil unitatea de măsură, translatăm mai spre centrul paginii, setăm o anumită grosime de trasare și apoi invocăm procedurile pentru \mathcal{E} , \mathcal{K} și \mathcal{P} :

```
% „programul principal”: scalează, poziționează, trasează liniile
/um 60 def % unitatea de măsură
um um scale
1.5 1 translate % originea figurii: 1.5um de marginea stângă, 1um de jos

.01 setlinewidth 1 0 0 setrgbcolor Kardioid stroke
.005 setlinewidth 0.1 setgray Ellipse stroke
0 0 1 setrgbcolor .005 setlinewidth Parabola stroke
```

Obținem prima figură dintre cele două redată mai jos; ne-a rămas de adăugat focarele și centrul elipsei, segmentele aferente acestora și cele două arce egale prin care sugerăm că \mathcal{E} este tangentă axei orizontale; ca să evităm

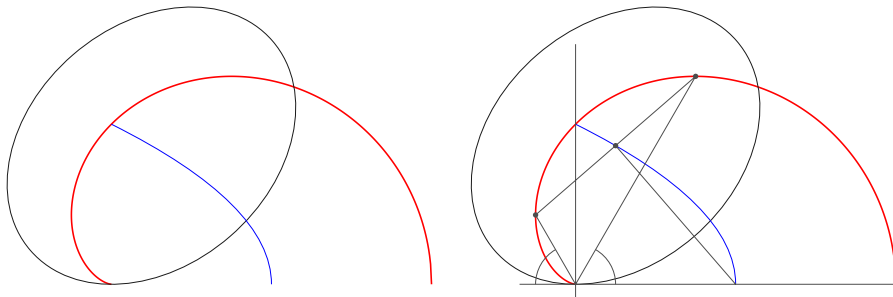
„apelarea” separată, constituim o procedură 'other_lines' care să conțină toate aceste construcții:

```

/other_lines {
  % marchează individual punctele  $K(t)$ ,  $K(1-t)$  și  $C(t)$ 
  x1 y1 punct
  x2 y2 punct
  xC yC punct
  % triunghiul  $K(tL) - K(tR) - origine$  ( $- closepath$ )
  x1 y1 moveto %  $K(t)$ 
  x2 y2 lineto %  $K(1-t)$ 
  0 0 lineto closepath
  % axe  $Ox$ ,  $Oy$ ; unește vârful parabolei cu centrul elipsei
  2.05 0 -0.35 0 moveto lineto %  $Ox$  (de la abscisa -0.3 până la 2.05)
  0 1.5 0 -0.1 moveto lineto %  $Oy$  (vertical -0.1 .. 1.5)
  1 0 xC yC moveto lineto % segmentul  $C(t)-(1,0)$ 
  % arcele dintre razele focarelor și  $Ox$ 
  0 0 0.25 0 arc2 arc stroke
  0 0 0.25 180 arc2 sub 180 arc stroke
} bind def

```

Translatând sistemul de coordonate spre dreapta (de exemplu prin `2.9 0 translate`), repetând cele trei linii din programul principal prin care se trasează \mathcal{K} , \mathcal{E} și \mathcal{P} și adăugând linia `setlinewidth other_lines stroke`, obținem și a doua figură:



Rămâne să *etichetăm* focarele, centrul elipsei și eventual, curbele respective; desigur, fontul angajat pentru etichete ar trebui să se potrivească (ca tip de literă și ca mărime) celui folosit în text.

Dar înainte de aceasta, să precizăm că figura inserată mai sus este un fișier PDF (și nu o copie-ecran—fișier PNG—care arăta mai rău, pe lângă faptul că ar fi fost de câteva ori mai voluminos), obținut într-o manieră tipică:

```

vb@Home:~/keps$ gs -q -o /dev/null -sDEVICE=bbbox grafic.eps
  %%BoundingBox: 50 53 387 165

vb@Home:~/keps$ ps2pdf grafic.eps # rezultă 'grafic.pdf'

vb@Home:~/keps$ gs -sDEVICE=pdfwrite -o keps1.pdf -f grafic.pdf \
  -c "[/CropBox [50 53 387 165] /PAGES pdfmark"

```

Am invocat **gs** cu **bbox** pentru a obține valoarea `%%BoundingBox` pentru figura creată prin programul `'grafic.eps'` și apoi cu **pdfwrite** pentru a insera (prin mecanismul `'pdfmark'`) declarația `/CropBox` (corespunzătoare cu `%%BoundingBox`) în fișierul PDF rezultat prin **ps2pdf**.

3.1 Eroare, experiment și descoperire

Situațiile de „eroare”, în pofida aparenței de „surpriză neplăcută”, sunt instructive; provocând chiar, asemenea situații și experimentând în contextul respectiv, poți ajunge să clarifici aspecte care de obicei sunt vizate expeditiv, ici și colo.

Dacă în procedura **Kardioid** din `'grafic.eps'` înlocuim `„/N 1000 def”` de exemplu, cu `„/N 10 def”`, atunci obținem un mesaj de eroare:

```
vb@Home:~/keps$ gs -q grafic.eps
Error: /rangecheck in —sqrt—
Operand stack:
  2.0  1.0  -1.19209e-07
Execution stack:  ...
```

Chiar neplăcut... pentru 1000 merge, dar pentru 10 nu?! Dar să profităm de faptul că N este mic (și să ignorăm deocamdată, mesajul afișat de *GS*): inserăm niște instrucțiuni de afișare intermediară a unor valori curente, folosind operatorul `' == '` (atenție: spațiul inițial și cel final sunt obligatorii!). În cazul de față am insera `'t == '` în instrucțiunea repetitivă `'N {...} repeat'` (unde acum N=10):

```
N { /t t dt add def % t = t+dt (unde dt = 1/N = 0.1)
      t == % afișează valoarea t curentă
      t X t Y lineto % segment de la P(t) la P(t+dt)
    } repeat
```

și după aceasta putem vedea cum decurg lucrurile:

```
vb@Home:~/keps$ gs -q grafic.eps
0.1
0.2
0.3
0.4
0.5
0.6
0.700000048 % 0.6 + 0.1 (!)
0.800000072
0.900000095
1.00000012
Error: /rangecheck in —sqrt—
...
```

Procedura eșuează imediat după ce **t** ajunge la valoarea 1.00000012, deci la calculul coordonatelor **X(t)** și **Y(t)** ale capătului segmentului curent; ajunge să te uiți la definițiile inițiale, pentru a vedea despre ce este vorba: $Y(t) = 4t \sqrt{t(1-t)}$, ori pentru ultima valoare a lui **t** avem $1-t < 0$

– ceea ce determină semnalarea de la începutul mesajului de eroare, pe care acum o putem și simula direct:

```
vb@Home:~/kps$ gs -q
GS> 1 1.00000012 sub pstack sqrt
-1.1920929e-07 % rezultatul scăderii 1 - 1.00000012
Error: /rangecheck in --sqrt--
Operand stack:
  -1.19209e-07
  ...
```

Dar altceva este interesant de observat, în experimentul de mai sus: `t` avea valoarea inițială 0 și este incrementat la fiecare iterație cu 0.1; însă după 0.6 urmează mai sus 0.700000048 și nu 0.7! Propagarea acestor erori de aproximare *explicită* faptul că se depășește limita 1, ajungându-se în situația de eroare evidențiată mai sus.

Majoritatea limbajelor de programare (inclusiv *PostScript*) mizează pe o reprezentare **floating point** a numerelor reale (o excepție notabilă este limbajul TeX, creat pe când încă nu apăruse standardul „floating point”: pentru a repera cât mai fin „punctele” unei pagini de hârtie, Knuth a introdus reprezentarea numerelor reale ca multipli întregi de 2^{-16}).

Din cauza erorilor de aproximare inerente, se recomandă ca variabila care asigură iterarea în cadrul unei secvențe repetitive să fie de tip *întreg*.

Și în *PostScript* avem de distins între reprezentarea (și operarea) internă a numerelor și pe de altă parte, afișarea acestora - cum arată acest mic experiment:

```
vb@Home:~/kps$ gs -q
GS> /h 0.1 def % h = 0.1
GS> /g {h 0.6 add} def % g = h + 0.6
GS> g =
0.7 % valoarea afișată pentru liniștea noastră...
GS> g ==
0.700000048 % valoarea utilizată intern
```

`' = '` afișează dacă se poate, cam cum ne-am dori; în schimb `' == '` (și încă, `' === '` pentru anumite alte obiecte PS) produce pe ecran valoarea *internă* existentă (și aceasta este cea utilizată în calcule).

3.2 De la semicardioidă la cardioidă, cu `pathforall`

`Kardioid` instituie în memorie conturul poligonal al *semicardioidii* superioare; vom arăta că prin `pathforall` putem obține de aici, conturul întregii cardioid.

Să constituim un fișier nou, `'cardioid.eps'`, în care să rescriem deocamdată procedura `Kardioid`, având grijă de această dată să ghidăm iterațiile prin întregi:

```

%IPS
% coordonatele punctelor semicardioidei (t fiind în vârful stivei)
/X {2 mul dup 1 sub mul} bind def % X(t) = 2t(2t - 1)
/Y {dup dup 1 exch sub mul sqrt mul 4 mul}
  bind def % Y(t) = 4t√t(1-t)
/N 1000 def
% aproximare poligonală (cu N segmente) a semicardioidei superioare
/Kardioid {
  0 0 moveto % conturul pleacă din t=0 (vârful cardioidei)
  1 1 N { N div dup X exch Y lineto } for
} bind def

```

1 1 N {N div dup X exch Y lineto} for funcționează cam așa: la fiecare iterație se depune pe stivă valoarea curentă a indexului, $i = 1..N$; **N div** adaugă N pe stivă, împarte i la N, elimină cei doi operanzi din stivă și pune în loc rezultatul i/N ; mai departe, **dup** adaugă a doua oară în stivă i/N , iar **X** calculează abscisa punctului $K(i/N)$ și pune rezultatul în locul acestei copii - încât acum stiva conține vechea valoare i/N și deasupra acesteia, abscisa rezultată; **exch** interschimbă între ele aceste două valori, încât apoi, **Y** poate calcula ordonata lui $K(i/N)$; după aceasta, în stivă avem abscisa și ordonata punctului $K(i/N)$, iar **lineto** va adăuga conturului segmentul de la ultimul său punct, la $K(i/N)$.

„Conturul” final este format din instrucțiunea `'0 0 moveto'` și $N=1000$ de instrucțiuni **lineto** pentru segmentele care unesc $K((i-1)/N)$ cu $K(i/N)$, unde $i=1..N$. Putem „vedea” conturul (adică, instrucțiunile constitutive), folosind operatorul **pathforall**; trebuie să-i transmitem pe stivă *patru proceduri*, vizând respectiv instrucțiunile **moveto**, **lineto**, **curveto** și **closepath** din componența conturului curent; în fiecare caz, sunt plasate pe stivă coordonatele punctelor angajate în instrucțiune și apoi se execută procedura transmisă pentru acel tip de instrucțiune.

De exemplu, dacă după ce am constituit un contur, am invoca `{ = = } { } { } { }` **pathforall**, atunci s-ar afișa coordonatele din toate instrucțiunile **moveto** ale conturului respectiv (și numai acestea, fiindcă celelalte trei proceduri transmise sunt vide): pentru fiecare instrucțiune **x y moveto** existentă în conturul curent, **pathforall** va pune în stivă **x y** și va executa procedura indicată `{ = = }`, ceea ce extrage pe rând cele două valori din stivă și le afișează *una sub alta* (`' = '` este suficient pentru aceasta, dar mai bine este să folosim `' == '` – cum am arătat la §3.1).

Afișarea „una sub alta” a valorilor este foarte convenabilă dacă intenționăm să le preluăm ulterior într-un alt program (indiferent în ce limbaj), pentru anumite prelucrări independente; dar putem să le afișăm și într-un format mai „convenabil”, înlocuind `{ = = }` cu `{ [3 1 roll] == }`: se adaugă în stivă obiectul (de tip „array”) `[...]`, încât acum stiva conține **x y [3 1 roll]**; apoi se execută instrucțiunea din interior `3 1 roll`, prin care conținutul stivei este *rotit* spre dreapta și este înlocuit cu un singur „array”, anume `[x y]` (pentru a cărui afișare este acum *necesar* `' == '`). Putem verifica

direct, în *GS*: de exemplu, `GS> 7.2 5.6 [3 1 roll] ==` produce `GS<1> [7.2 5.6]`.

Însă `pathforall` poate fi utilizat și în scopuri mai interesante decât simpla afișare de valori – anume, pentru modificarea sau extinderea conturului curent. Să adăugăm în fișierul `cardioid.eps` o secvență prin care prevedem o unitate de măsură și o grosime de linie convenabile, mutăm originea undeva mai la mijlocul paginii și apoi, invocăm procedura `Kardioid`, obținând conturul semicardioidii superioare; invocând `pathforall` cu o procedură pentru instrucțiunile `x y lineto` în care schimbăm semnul ordonatelor (folosind `neg`), conturului curent îi vor fi adăugate noile instrucțiuni `x -y lineto` încât în final, conturul va conține segmentele inițiale ale semicardioidii superioare, dar și pe cele simetrice acestora față de Ox . În final, afișăm conturul astfel „întregit”, folosind din nou `pathforall`:

```
90 90 scale % 90bp = 72bp + 18bp = 1.25 inch (= 4.175 cm)
1.5 5 translate % originea figurii: 135bp de marginea stângă, 450bp de jos
.005 setlinewidth % 0.005 din 90bp
```

```
Kardioid % constituie conturul poligonal al semicardioidii superioare
```

```
% adaugă „aceleași” segmente, dar schimbând semnul ordonatelor
```

```
{moveto} {[3 1 roll neg lineto]} {} {}
pathforall % rezultă conturul întregii cardioidii
```

```
% afișează instrucțiunile conturului curent (după „întregire”)
```

```
{[3 1 roll] == } % [x y] din instrucțiunile 'moveto' ale conturului
{[3 1 roll (lineto)] == } % [x y lineto]
{} {}
```

```
pathforall
```

```
clear % curăță stiva (cum-necum, au rămas 4 tablouri vide...)
```

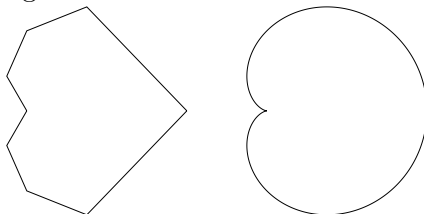
```
stroke % trasează efectiv cardioida (nu numai semicardioida!)
```

Pentru exemplu, să redefinim `/N 4 def` și să lansăm programul sub *GS*:

```
vb@Home:~/kps$ gs -q cardioid.eps
[2.53962298e-05 1.61245898e-05] % moveto
[-0.250021845 0.433032304 (lineto)]
[2.53962298e-05 0.999998689 (lineto)]
[0.750012338 1.29901314 (lineto)]
[1.99999058 1.61245898e-05 (lineto)]
[2.53962298e-05 1.61245898e-05] % moveto
[-0.250021845 -0.433051646 (lineto)]
[2.53962298e-05 -1.000018 (lineto)]
[0.750012338 -1.29903245 (lineto)]
[1.99999058 -3.54741e-05 (lineto)]
GS>
```

Se vede că au rezultat nu numai cele 4 segmente care „aproximează” semicardioida superioară, dar și simetricele acestora față de Ox ; de observat însă, că `neg` nu a schimbat pur și simplu semnele, ci a și evaluat cumva, rezultând

obișnuitele „erori de aproximare” (astfel, 0.433032304 a ajuns -0.433051646 ceea ce diferă de valoarea corectă -0.433032304, cu vreo două sutimi de miime). În orice caz, pentru $N=4$ și respectiv $N=1000$ obținem (micșorând însă unitatea de măsură, la 30bp) imaginile următoare:



Subliniem că trasarea conturului pentru $N=1000$ necesită execuția a 2002 instrucțiuni (două `moveto` și 1000 + 1000 instrucțiuni `lineto`); vom arăta acuzi că putem trasa cardioida (și alte curbe) cam cu aceeași acuratețe (totuși... arătând mai bine!), dar cu un contur conținând mult mai puține instrucțiuni (anume, instrucțiuni `curveto`). Am avansa ideea cam așa: dacă în loc de cele 4 segmente din prima figură am considera niște arce curbate cumva „din ochi”, sau din ecuațiile curbei inițiale, atunci conturul constituit de acestea ar fi oricum „mai bun”, decât cel poligonal inițial.

3.3 De la semicardioidă la cardioidă, simetrizând față de axă

Mai sus am urmat o idee exotică: am extins prin `pathforall` conturul semicardioidii superioare, obținând conturul întregii cardioide (pentru fiecare instrucțiune `x y lineto` existentă, am adăugat conturului inițial și `x -y lineto`); dar astfel, am putut evidenția ce este de fapt, un „contur”.

Să revenim la calea *firească*: „întregim” cardioida simetrizând față de axa Ox conturul semicardioidii (în loc să-l extindem, cum am făcut anterior).

Întâi avem de subliniat că nu merge o schemă de lucru în care conturul să fie instanțiat o singură dată:

```
Kardioid % adaugă conturului curent și semicardioida superioară K
gsave stroke grestore % trasează conturul curent (K se păstrează)
gsave
  1 -1 scale % inversează sensul pe axa Oy (vrând semicardioida inferioară)
  stroke % trasează conturul curent; K nu este inversat!
grestore
```

`stroke` trasează conturul *curent* și trebuie să se țină seama de situația obișnuită, când acesta conține și alte contururi, nu numai pe acela căruia, în prealabil, ai vrea să-i aplici o anumită transformare. Decurge firește această regulă: după ce se indică transformarea, trebuie precizat cumva și conturul căruia îi va fi aplicată aceasta; perechea de operatori `gsave` și `grestore` deservește și ei, acest principiu de lucru (permițând comutarea temporară într-un context grafic nou).

Ținând seama de regula menționată, programul din §3.2 se rescrie astfel:

```

%IPS
% coordonatele punctelor semicardioidei K(t) (t fiind în vârful stivei)
/X {2 mul dup 1 sub mul} bind def
/Y {dup dup 1 exch sub mul sqrt mul 4 mul} bind def

/N 1000 def % /N 4 def
% aproximare poligonală (cu N segmente) a semicardioidei superioare
/Kardioid {
  0 0 moveto % conturul pleacă din K(0) (vârful cardioidei)
  1 1 N { N div dup X exch Y lineto } for
} bind def

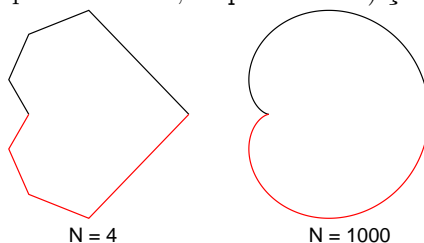
90 90 scale % 90bp = 72bp + 18bp = 1.25 inch (= 4.175 cm)
1.5 5 translate % originea: 135bp de marginea stângă, 450bp de jos
.005 setlinewidth % 0.005 din 90bp

gsave
  Kardioid % instanțază (și trasează) conturul semicardioidei
  stroke
grestore

gsave
  1 -1 scale % (x,y) -> (x,-y) (simetrie față de axa Ox curentă)
  Kardioid % instanțiază (pentru noul xOy), conturul semicardioidei
  1 0 0 setrgbcolor stroke
grestore

```

Iterând programul pentru $N=4$ (caz în care este ușor de văzut conținutul conturului înainte și după simetrizare, cu `pathforall`) și $N=1000$ obținem:



Acum, fiindcă am folosit un *același* contur de două ori, putem și distinge (aici, prin culoare) între cele două semicardioide (spre deosebire de §3.2, unde întâi am „întregit” conturul și apoi l-am plotat ca atare, ceea ce exclude posibilitatea marcării separate a părților). Să observăm însă că de executat sunt tot $2N+2$ instrucțiuni: câte una `moveto` și câte N `lineto` pentru fiecare dintre cele două instanțe ale conturului.

4 Etichetarea directă, folosind un font obișnuit

Pentru a eticheta anumite elemente ale graficului poate fi suficient să angajăm un font obișnuit; adăugăm în `'grafic.eps'`, de exemplu:

```

/Helvetica findfont 0.18 scalefont setfont
(F) x2 y2 0.04 add moveto show % eticheta 'F' pentru punctul K(tR)

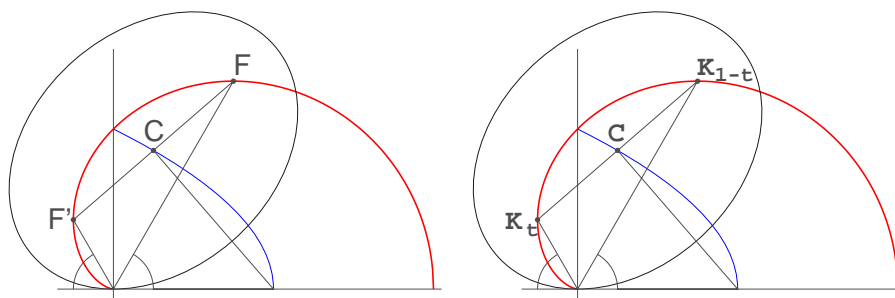
```



```
(F') x1 0.16 sub y1 0.06 sub moveto show % dar „prim” va fi ca o virgulă
(C) xC 0.06 sub yC 0.06 add moveto show
```

Am mărit puțin ordonata (cu 0.04 din unitatea de măsură curentă, prevăzută în „programul principal” din `grafic.eps`), am mutat aici „punctul curent” și apoi `show` a afișat caracterul rămas în vârful stivei, (F); am procedat analog, pentru celelalte etichete. Obținem astfel *prima* dintre cele două figuri din fișierul PDF vizualizat mai jos.

Ar fi de făcut niște precizări: am indicat numele fontului, `'Helvetica'` (prefixat cu `'/'`, încât să nu fie considerat ca invocare de operator); `findfont` caută în dicționarul de fonturi cheia indicată și depune pe stivă *dicționarul* asociat ei; acesta conține între altele câte un operator pentru fiecare caracter (denumit ca și caracterul, 'A', 'B', etc.); acest operator „desenează” caracterul respectiv, folosind ca de obicei când este de trasat un grafic `moveto`, `lineto` și `curveto`; este asumat sistemul de coordonate curent și fiindcă unitatea de măsură setată în `grafic.eps` era „mare” ($1 \equiv 60\text{bp}$), am folosit `scalefont` - obținând caractere cu o dimensiune „normală”, $0.18 \times 60\text{bp} \approx 11\text{bp}$. Dicționarul astfel setat în stiva operanzilor este apoi transferat prin `setfont` în vârful stivei dicționarilor de fonturi, devenind astfel „fontul curent” pentru viitoarele instrucțiuni „(text) `show`”.



Pe de altă parte, ar fi de dorit ca etichetele să nu fie niște simple repere, ci să fie astfel formulate încât să reflecte cât mai bine contextul matematic al figurii; de exemplu, notând K_t și K_{1-t} în loc de F' și F - s-ar evidenția faptul că focarele sunt puncte ale semicardioidei \mathcal{K} , deduse dintr-o parametrizare a acestora cu valori t simetrice față de mijlocul 0.5 al intervalului $[0, 1]$.

Pentru acest caz, când ar trebui doar să adăugăm niște indici, este încă ușor să folosim un font obișnuit (rezultând figura din dreapta):

```
/Courier-Bold findfont 0.18 scalefont setfont
(K) x2 y2 0.04 add moveto show
0 -0.04 rmoveto % coboară puțin punctul curent, pentru a adăuga indicele t
gsave
.75 .75 scale % mărimea indicelui va fi 3/4 din mărimea curentă de caracter
(1-t) show
grestore
(K) x1 0.2 sub y1 0.06 sub moveto show
```

```

0.02 -0.04 rmoveto
gsave
.75 .75 scale
(t) show
grestore
(C) xC 0.06 sub yC 0.06 add moveto show

```

Desigur, am ambalat modificarea mărimii curente de caracter (rezultată aici prin scalarea sistemului de coordonate) și afișarea indicelui respectiv, între **gsave** și **grestore** (care salvează și restaurează contextul grafic *curent*, încât modificările din interior sunt „ascunse” față de exterior).

Însă dacă avem nevoie și de alte tipuri de literă, sau de expresii matematice mai complicate, atunci în loc să ne jucăm ca mai sus cu un „font obișnuit”, mai bine căutăm o metodă generală, pe care să o putem aplica într-un mod standard pentru oricare figură și pentru oricare necesități de etichetare...

5 Încapsularea în figură a notațiilor matematice

Bineînțeles că există o asemenea „metodă generală”, pentru a integra în documente notația matematică, în toată complexitatea specifică acestuia și cu asigurarea unei foarte bune calități tipografice: sistemul de tipografie digitală \TeX , folosit curent în mediile științifice (sistem creat prin 1970-80, de către D. KNUTH).

Dar vrând să obținem o figură „independentă”, trebuie să combinăm cumva fișierul nostru '**grafic.eps**' (fără liniile experimentate în §4) cu etichetele matematice pe care le-am obține folosind direct \TeX .

Vom proceda cam așa: creem un document „**.tex**” *minimal*, conținând exprimarea \TeX a etichetei dorite; compilăm cu **latex** acest fișier, obținând fișierul corespunzător în formatul **DVI**; de aici, cu programul **dvips**, ajungem la formatul „**.eps**” al etichetei respective, fișier pe care îl vom putea „combina” apoi cu '**grafic.eps**'.

Bineînțeles, vom căuta să automatizăm această succesiune de operații, având în vedere și faptul că sunt de montat mai multe etichete.

Instituim un șablon minimal de fișier \LaTeX , '**mathLabels.tex**', în care să putem scrie expresia \TeX a unei etichete:

```

\documentclass{article}
\usepackage{xcolor} % în eventualitatea că vrem să colorăm o etichetă
\usepackage[mathscr]{euscript} % majuscule caligrafice (existente și în text)
\pagestyle{empty}
\begin{document}
$ $ % aici se va scrie eticheta (între caracterele „dolar”)
\end{document}

```

Nu este mai convenabil, să scriem în acest fișier toate formulele: ar fi complicat de identificat zona din pagină asociată fiecăreia (și de stabilit dimensiunile acesteia) în cadrul fișierului „**.eps**” final.

Constituim un fișier-text `labels.txt`, conținând etichetele noastre în notația matematică TeX (fiecare pe câte o linie), dar fără delimitatori `'$'`:

```
K_t
K_{1-t}
C_t
\\color{red}\\mathscr{K}
\\mathscr{E}
\\color{blue}\\mathscr{P}
```

Am avut grijă să dublăm caracterul `'backslash'` (folosit de TeX pentru a desemna o comandă), fiindcă acest caracter are de obicei semnificație specială—care se evită prefixând cu `'\'`—în diverse limbaje pe care le-am putea folosi mai departe.

Formulăm acum un program *Bash*, `'buildEPS.sh'`, prin care se preia câte o linie de text din fișierul `labels.txt`, se scrie textul respectiv în fișierul `mathLabels.tex` în locul rezervat etichetei (am ales să folosim `sed`, pentru aceasta), apoi se lansează compilatorul `latex` și se transmite rezultatul obținut astfel, programului `dvips`:

```
#!/bin/bash
labels=(`cat labels.txt`)
i=1
for lb in "${labels[@]}"
do
    sed -i "s/\\$.*\$/\\$1b\$/g" mathLabels.tex
    latex mathLabels.tex
    dvips -E mathLabels.dvi -o Label$i.eps
    ((i++))
done
```

Putem folosi `awk` (de pe linia de comandă) pentru a extrage și a afișa coordonatele colțurilor boxei care conține desenul etichetei, din cadrul declarației `'%%BoundingBox'` existente în fișierele „`Label*.eps`” rezultate prin execuția scriptului *Bash* de mai sus:

```
awk '/%%BoundingBox:/ {print $2,$3,$4,$5,FILENAME}' Label*.eps
148 655 162 665 Label1.eps # produce eticheta K_t
148 654 172 665 Label2.eps # K_{1-t}
148 655 161 665 Label3.eps # C_t
148 656 158 665 Label4.eps #  $\mathscr{K}$ 
148 656 156 665 Label5.eps #  $\mathscr{E}$ 
148 656 156 665 Label6.eps #  $\mathscr{P}$ 
```

Aceste coordonate ne sunt necesare pentru a stabili ce translație avem de făcut pentru a poziționa eticheta respectivă în locul convenit în cadrul paginii produse de `graphic.eps`; de exemplu, `-148 -655 translate` va aduce prima etichetă în colțul stânga-jos al paginii care conține graficul produs de `graphic.eps` și rămâne de calculat (sau de estimat prin încercări) ce translație mai trebuie făcută, încât s-o aducem lângă focarul K_t .

În `'graphic.eps'` am înființat deja operatori (`x1, y1, etc.`) care ne dau coordonatele punctelor pe care vrem acum să le etichetăm și de aceea este firesc

să încercăm să încorporăm fișierele „Label*.eps” chiar în 'grafic.eps' (în loc de a încorpora toate cele șapte fișiere EPS într-un fișier nou „pack.eps”, cum ne propusesem *inițial* în §1).

Sunt de întâmpinat două probleme: cum obținem în 'grafic.eps' coordonatele colțurilor etichetelor (evitând să operăm direct cu valorile 148, 655, etc.); cum modelăm calculele necesare aducerii etichetelor în locurile convenite din figură, având în vedere că sistemul de coordonate în care este produsă figura diferă de cel în care sunt produse etichetele.

5.1 Citirea valorilor %%BoundingBox

Fiind create automat (la fel), fișierele Label*.eps au același „preambul” și conțin %%BoundingBox pe a cincea linie:

```

%!PS-Adobe-2.0 EPSF-2.0
%%Creator: dvips(k) 5.997 Copyright 2017 Radical Eye Software
%%Title: mathLabels.dvi
%%CreationDate: Tue Jul 2 05:27:39 2019
%%BoundingBox: 148 655 162 665

```

Până la înregistrarea colțurilor etichetei apar în total 166 de caractere; folosim operatorul **file** pentru a deschide în vederea citirii fișierul respectiv, folosim **setfileposition** pentru a poziționa citirea de la al 166-lea caracter și „citim” de aici 15 caractere (câte 3 cifre de colț și 3 spații intermediare); apoi folosim () **search** pentru a depune pe stivă, pe rând, fiecare grup de câte 3 cifre consecutive, transformându-l imediat în număr întreg prin **token**:

```

/readBB { % numele fișierului este preluat din stivă
  /flb exch (r) file def
  flb 166 setfileposition
  flb 15 string readstring pop
  flb closefile % pstack % (șirul de 15 caractere citit)
  3 { ( ) search pop % parcurge până la primul spațiu și încarcă pe stivă
    token pop % convertește șirul de cifre în număr întreg
    3 1 roll pop pop exch } repeat
  token pop exch pop % pstack % (avem pe stivă cele 4 coordonate)
} bind def

```

Am folosit **pop** (de câteva ori), pentru a elimina din stivă informațiile de care suntem siguri că nu avem nevoie; de exemplu, **readstring** și **token** adaugă în stivă *true* sau *false*, semnalând că operația a reușit sau nu, iar **search** adaugă în stivă și partea din șir rămasă după subșirul căutat (și am folosit 3 1 **roll** pentru a aduce în vârful stivei subșirul de 3 cifre respectiv, eliminând apoi celelalte subșiruri produse de **search**).

Aplicăm procedura 'readBB' fiecăruia dintre fișierele „Label*.eps”, folosind **forall**:

```

[(Label6.eps) (Label5.eps) (Label4.eps)
 (Label3.eps) (Label2.eps) (Label1.eps)] {
  readBB
  4 array astore % tablou ("array") conținând cele 4 coordonate
} forall % pstack % (cele 6 tablouri de coordonate)

```

Prin **astore**, cele 4 valori rezultate în stivă (la fiecare iterație) sunt comasate într-un tablou (încât vom putea accesa mai comod, colțurile respective). De observat că am transmis numele fișierelor „în ordine inversă”, începând cu 'Label6.eps'; astfel, cele 6 tablouri de coordonate vor fi așezate în stivă în ordinea firescă în care urmează să le prelucrăm, începând (în vârful stivei) cu cel corespunzător lui 'Label1.eps'.

Desigur, includem aceste secvențe de program în fișierul 'grafic.eps' (unde va înaintea de „programul principal”); putem constata rezultatul (*decomentând pstack* de după **forall**, pentru a afișa conținutul final al stivei):

```

vb@Home:~/keps$ gs -q grafic.eps
[148 655 162 665] % colțurile etichetei din Label1.eps
[148 654 172 665]
[148 655 161 665]
[148 656 158 665]
[148 656 156 665]
[148 656 156 665] % colțurile etichetei din Label6.eps)

```

Aceste coordonate ne vor servi pentru a calcula dimensiunile boxelor (în vederea re poziționării etichetelor); de exemplu, obținem lățimea boxei extrăgând cu **get** abscisele colțurilor de la bază și scăzându-le, cum descriem în acest mic experiment:

```

vb@Home:~/keps$ gs -q
GS> [148 655 162 665] % Lx Ly Ux Uy (colțurile boxei)
GS<1> dup pstack
[148 655 162 665]
[148 655 162 665]
GS<2> 2 get pstack % abscisa colțului dreapta-jos (Ux)
162 % tabloul din vârful stivei este înlocuit cu valoarea extrasă
[148 655 162 665]
GS<2> exch pstack % aduce tabloul iarăși în vârful stivei
[148 655 162 665]
162
GS<2> 0 get sub = % extrage Lx (=148), face scăderea și afișează rezultatul
14 % Ux - Lx = 14 = lățimea boxei
GS> quit

```

Putem reformula mai simplu, instituind o variabilă de memorie care să preia tabloul din vârful stivei:

```

vb@Home:~/keps$ gs -q
GS> [148 655 162 665]
GS<1> /BB exch def % variabila 'BB' preia valoarea (tablou) din vârful stivei
GS> BB 2 get BB 0 get sub = % obține lățimea boxei (14)

```

Este de subliniat că fiecare nouă invocare a variabilei denumite mai sus 'BB' va produce ca valoare tabloul aflat la momentul respectiv în vârful stivei

(și nu un același tablou), încât odată definită, vom putea folosi o asemenea variabilă pentru toate etichetele noastre.

5.2 Poziționarea etichetelor pe figură

Mai sus am citit din fișierele „Label*.eps” și după ce am extras ce ne trebuie, le-am închis (folosind `closefile`); dar ceea ce avem de făcut de fapt este să *încapsulăm* programele EPS respective în `'grafic.eps'`.

Pentru aceasta, în principiu, trebuie să folosim operatorul `run`; de exemplu, `(Label1.eps) run` încorporează și execută instrucțiunile din `'Label1.eps'`, „redesenând” eticheta respectivă.

Numai că executarea instrucțiunilor „străine” încorporate astfel—dacă este *permisă*—decurge de regulă după ce pagina *curentă* este ștearsă (ejectată) și sistemul grafic este reinițializat (încât „redesenarea” se face într-o pagină *nouă*, cu parametrii grafici prevăzuți de programul încorporat).

Pentru a încorpora etichetele chiar în pagina produsă de `'grafic.eps'` (evitând ejectarea acesteia), *minimumul* necesar constă în anularea efectului instrucțiunii `showpage`, redeclarând-o (din timp!) ca procedură „vidă”:

```
/showpage {} def % ar fi descărcat pagina curentă, reinițializând contextul grafic
```

Să înființăm întâi procedurile care decurg din §5.1 pentru a prelua din stivă tabloul `%BoundingBox` și a determina dimensiunile corespunzătoare:

```
/BB exch def % preia din stivă tabloul colțurilor etichetei curente  
/wb {BB 2 get BB 0 get sub} bind def % width (lățimea etichetei)  
/hb {BB 3 get BB 1 get sub} bind def % height (înălțimea etichetei)
```

În `'Label*.eps'` era implicat sistemul de coordonate standard, originea fiind în colțul stânga-jos, iar unitatea de măsură $1 \equiv 1bp = 1/72inch$; în `'grafic.eps'` originea fusese fixată la $1.5um$ de marginea stângă și $1um$ de baza paginii, unde alesesem $1um = 60bp$.

Avem de ales între aceste două posibilități de lucru:

1. Întâi „importăm” etichetele și le poziționăm; apoi abia, executăm „programul principal” (începând cu scalarea și translatarea sistemului de coordonate) din `'grafic.eps'`; pentru poziționare vom avea nevoie doar de valoarea $1um$.
2. Întâi executăm „programul principal” (începând cu scalarea și translatarea sistemului de coordonate) din `'grafic.eps'` și după aceea, „importăm” și poziționăm etichetele.

Să observăm că pentru a doua variantă, calculele de poziționare revin la cele din prima variantă dacă (după ce executăm „programul principal” din `'grafic.eps'`) reconstituim sistemul de coordonate standard, făcând o „translație inversă” și o „scalare inversă” prin instrucțiunile suplimentare `-1.5 -1 translate` și `1 um div dup scale`. Desigur, ne putem scuti

de o asemenea „reconstituire” *ad-hoc*, ambalând „programul principal” din ’`grafic.eps`’ între `gsave` și `grestore`:

```

/showpage {} def % evită ejectarea paginii curente
/um 72 def % fixăm ca „unitate de măsură”  $1 \equiv 72bp = 1 \text{ inch}$ 
gsave % „programul principal” (produce figura geometrică)
um um scale % coordonatele vor fi amplificate cu  $1um$ 
1.5 1 translate %  $1.5um$  spre dreapta,  $1um$  în susul paginii
.01 setlinewidth 1 0 0 setrgbcolor Kardioid stroke %  $\mathcal{K}$ 
.005 setlinewidth 0.1 setgray Ellipse stroke % elipsa  $\mathcal{E}$ 
0 0 1 setrgbcolor .005 setlinewidth Parabola stroke %  $\mathcal{P}$ 
0 setlinewidth other_lines stroke % celelalte linii și arce
grestore % restaurează contextul grafic inițial

```

Este importantă, alegerea unității de măsură pentru construcția figurii; cu $60bp$ cât alesesem inițial (în §3), etichetele care vor completa acum figura se dovedesc a fi prea mari; alegând ca unitate *1inch*, vom avea o „potrivire” mai bună între mărimea de caracter a etichetelor și mărimea figurii. Am „ascuns” față de restul programului, scalarea și translatarea coordonatelor din blocul referit prin „programul principal” (introducându-l între `gsave` și `grestore`), dar acum apare o situație aproape ironică: pentru poziționarea etichetelor pe figură trebuie să știm translația folosită la construcția figurii (adică tocmai ceea ce—chipurile—„ascunsesem”).

Eticheta K_t (ca să ne referim la un exemplu concret) trebuie „adusă” din poziția indicată în `%BoundingBox`-ul corespunzător ei (obținut de pe stivă în variabila `BB` înființată mai sus), într-o poziție din pagina figurii care să corespundă punctului de coordonate (x_1, y_1) – unde x_1 și y_1 invocă procedurile înființate în §3 pentru determinarea abscisei și ordonatei punctului semicardioidei corespunzător unei anumite valori a parametrului din ecuațiile acesteia. Dar coordonatele rezultate sunt „numere abstracte”; poziția din pagină corespunzătoare acestora se obține scalând coordonatele cu $1um$ și translătând cu $1.5um$ pe orizontală și cu $1um$ pe verticală.

Să desemnăm prin `[Lx Ly Ux Uy]` valorile obținute în variabila `BB`; calculul de poziționare a etichetei trebuie să decurgă astfel: translătăm eticheta spre stânga cu (Lx, Ly) (instrucțiunea ar fi: `-Lx -Ly translate`); efectuăm apoi o a doua translație, cu $((x_1 + 1.5)um, (y_1 + 1)um)$. Astfel, colțul stânga-jos al etichetei ajunge acum în poziția din pagină corespunzătoare coordonatelor „abstracte” (x_1, y_1) ; rămâne de făcut o anumită corecție, ținând seama de lățimea și înălțimea etichetei respective (încât în final, eticheta să fie așezată cumva lângă punct):

```

% calculul translației etichetei, pe orizontală și pe verticală
/Tx {1.5 add um mul BB 0 get sub} bind def
%  $(x + 1.5)*um - Lx$  ( $x$  fiind preluat din stivă)
/Ty {1 add um mul BB 1 get sub} bind def
%  $(y + 1)*um - Ly$  ( $y$  din stivă)

```

```

% încapsulează și poziționează etichetele
gsave x1 Tx wb sub % corecție orizontală ( $-wb$ ) pentru eticheta  $K_t$ 

```

```

        y1 Ty hb 0.75 mul sub % corecție verticală cu -hb*0.75
        translate (Label1.eps) run grestore
gsave x2 Tx wb 10 div sub % corecție cu -0.1wb și +0.1hb
        y2 Ty hb 10 div add
        translate (Label2.eps) run grestore
gsave xC Tx wb 2 div sub
        yC Ty hb 4 div add
        translate (Label3.eps) run grestore
gsave 1.8 Tx .5 sqrt Ty translate
        (Label4.eps) run grestore
gsave 1.06 Tx .4 sqrt Ty translate
        (Label5.eps) run grestore
gsave 0.68 Tx .3 sqrt Ty translate
        (Label6.eps) run grestore

```

Pentru etichetarea curbelor am ales (prin calcule simple și încercări) abscisele 1.8, etc. și ordonatele $\sqrt{0.5}$ etc., aplicându-le Tx și Ty pentru a obține poziția din pagină corespunzătoare lor (și nu am avut nevoie de „corecții”).

În final însă (după atâta muncă), am putea fi și dezamăgiți: `evince` (sau poate și vreun alt „*Document Viewer*”) nu mai reușește să interpreteze fișierul `grafic.eps` rezultat mai sus; iar invocând direct *Ghostscript* (prin `gs graphic.eps`) am avut (într-un anumit moment intermediar) surpriza de a obține o pagină care conține numai figura produsă de „`grafic.eps`” (nu și etichetele încapsulate)...

Pe undeva este normal să fie așa: *este* periculos să permiți includerea într-un fișier a altor fișiere care conțin instrucțiuni executabile („străine”).

Totuși, *GS* permite și evitarea unor restricții privitoare la fișiere și fonturi, prin opțiunea `-dNOSAFER`, încât prin comanda `gs -dNOSAFER graphic.eps` obținem vizualizarea pe ecran a figurii complete (incluzând și etichetele).

Desigur, nu vom putea folosi `'grafic.eps'` decât *având* alături și fișierele `Label*.eps`; putem evita acest inconvenient (rezultând și alte avantaje) *sintetizând* fișierele respective într-un document PDF:

```
vb@Home:~/keps$ ps2pdf -dNOSAFER graphic.eps graphic.pdf
```

Pentru a converti din EPS în PDF, `ps2pdf` angajează de fapt interpretorul *GS*, încât putem beneficia ca și mai sus, de opțiunea `-dNOSAFER`.

Fișierul obținut `grafic.pdf` măsoară numai $14.9kB$ (în timp ce fișierele „`Label*.eps`” obținute prin `dvips`—când am executat scriptul `'buildEPS.sh'`—totalizează aproape $200kB$); vizualizând de exemplu prin `evince`, obținem o pagină care conține figura noastră (cu tot cu etichete) în partea din stânga-jos a ei. Dar aceasta nu este chiar ce ne-am dorit: în `grafic.eps` (v. §3) stabilisem în declarația `%%BoundingBox` limitele boxei care conține figura noastră—iar acum vedem că acestea nu au fost în final, respectate; vizualizând cumva ca text, fișierul `grafic.pdf` - găsim că pagina respectivă a fost setată cu `/MediaBox [0 0 595 842]` (ceea ce corespunde formatului de pagină „A4”).

Cum am arătat deja în §3, putem folosi `gs` cu `-sDEVICE=bbox` pentru a găsi `%%BoundingBox` (trebuie recalculat, fiindcă acum avem altă unitate de măsură decât aveam în §3) și apoi cu `pdfwrite` pentru a insera (prin mecanismul `'pdfmark'`) declarația `/CropBox` corespunzătoare cu `%%BoundingBox`, în fișierul `'grafic.pdf'` rezultat mai sus; obținem astfel, figura din §1 (mai puțin eticheta `'O'`, pe care am adăugat-o ulterior).

Desigur, scopul pentru care faci o figură sau alta, nu este (în general) acela de a o arăta pur și simplu pe ecran, sau a o tipări pe hârtie – ci de a o integra într-un anumit text referitor de exemplu, la contextul matematic asociat figurii. Figura obținută mai sus poate fi salvată de exemplu în `images/keps3.pdf` și va putea fi inclusă într-un fișier LaTeX existent prin comanda `\includegraphics{images/keps3.pdf}` (prevăzând în preambulul `\usepackage{graphicx}`; având `/CropBox`, compilatorul de LaTeX va putea să constituie boxa necesară figurii, în cadrul boxei pe care o asociază paginii).

6 Arcele de parabolă sunt curbe Bézier pătratică

În procedura *Parabola* din §3, am generat „punct cu punct” arcul de parabolă \mathcal{P} dat de $y = \sqrt{1-x}$, $x \in [0, 1]$: se unea punctul curent (inițializat în vârful parabolei) cu cel corespunzător abscisei depuse pe stivă la iterația următoare (prin mecanismul lui `for`), coborând abscisa cu câte 0.01 (în §3.1 am arătat însă că iterarea cu pași fracționari ar trebui evitată); în final avem o aproximare cu 100 de segmente a lui \mathcal{P} – în fond, un set de 100 de instrucțiuni `lineto` care prin operatorul `stroke` vor produce pixeli vecini sau puncte suficient de apropiate, formând (pe ecran, sau pe hârtie) o imagine grafică acceptabilă a lui \mathcal{P} .

Vom arăta mai încolo că putem obține o imagine la fel de bună a lui \mathcal{P} (și de fapt, a oricărui arc de parabolă), folosind o singură instrucțiune `curveto` (în loc de 100 `lineto`); dar pentru aceasta trebuie găsite în prealabil, anumite „puncte de control”.

Să notăm cu P și Q capetele arcului \mathcal{P} (în cazul nostru $P(0, 1)$ și $Q(1, 0)$); urmează să determinăm „punctele de control”.

Fie H *intersecția tangentelor* în P și Q , la \mathcal{P} . Justificarea alegerii în acest fel a unui prim punct de control decurge dintr-o metodă generală de construcție punctuală a unei conice (v. *Steiner's generation of a conic*), care în cazul nostru revine la această proprietate: *dacă punctele U și V împart segmentele orientate \overline{PH} și \overline{HQ} într-un același raport $t \in [0, 1]$, atunci punctul care împarte \overline{UV} în raportul t descrie (când t variază de la 0 la 1) un arc de parabolă, care este tangent dreptelor PH și QH .*

Pentru demonstrație, să considerăm afixele punctelor, folosind litere omonime. Punctul care împarte \overline{UV} în raportul t este $z(t) = (1-t)U + tV$; dar - fiindcă U împarte \overline{PH} în raportul t - avem $u = (1-t)P + tH$; analog,

$v = (1 - t)H + tQ$. Rezultă:

$$z(t) = (1 - t)^2P + 2t(1 - t)H + t^2Q, t \in [0, 1]$$

Deci (fiind date de o funcție de gradul doi în t) punctele $z(t)$ se află pe o parabolă care trece prin $z(0) = P$ și $z(1) = Q$.

Avem $z'(t) = -2(1 - t)P + 2(1 - 2t)H + 2tQ$; rezultă că $z'(0) = 2(H - P)$ (adică tangenta în $z(0)$ are aceeași direcție ca vectorul \overline{PH}) și $z'(1) = 2(Q - H)$; deci dreptele PH și HQ sunt tangente parabolei, în P și respectiv în Q .

Arcul de parabolă $z(t)$ rezultat mai sus este **curba Bézier pătratică** definită de capetele P , Q și de punctul de control H ; dacă am avea o instrucțiune (similară cu `lineto`) care să furnizeze această curbă Bézier (primind ca argument capetele și punctul de control), atunci am putea trasa \mathcal{P} folosind numai această instrucțiune. Însă pentru a viza și alte curbe (nu numai parabolă), *PostScript* prevede implicit folosirea curbelor Bézier *cube*, care necesită câte *două* puncte de control; vom vedea mai jos că pentru cazul unui arc de parabolă, acestea pot fi determinate plecând de la punctul H definit mai sus.

Să verificăm într-un caz concret, că pătratică Bézier definită de capetele unui arc de parabolă și de intersecția tangentelor acestuia în capete *coincide* cu arcul respectiv.

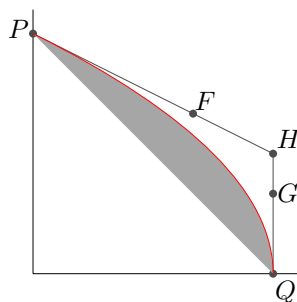
Pentru cazul nostru $\mathcal{P} : y^2 = 1 - x$, $x \in [0, 1]$ și prin derivare avem $2yy' = -1$; deci $y'(0) = -\frac{1}{2y(0)} = -\frac{1}{2}$, încât ecuația tangentei în $P(0, 1)$ este $y - 1 = -\frac{1}{2}x$; tangenta în $Q(1, 0)$ este $x = 1$. Rezultă prin intersecție $H(1, \frac{1}{2})$ și curba Bézier pătratică asociată mai sus este $z(t) = (1 - t)^2i + 2t(1 - t)(1 + \frac{1}{2}i) + t^2$, adică separând părțile (reală și imaginară): $x(t) = 2t(1 - t) + t^2 = t(2 - t)$ și $y(t) = (1 - t)^2 + t(1 - t) = 1 - t$; eliminând parametrul t rezultă exact ecuația inițială, $y^2 = 1 - x$.

7 Arcele de parabolă, prin cubice Bézier

Am văzut mai sus că ecuația arcului de parabolă de capete P și Q , dat fiind punctul („de control”) H în care se intersectează tangentele în capete este (în planul complex) $z(t) = (1 - t)^2P + 2(1 - t)tH + t^2Q$, $t \in [0, 1]$. Avem de găsit două puncte F și G cu aceeași proprietate ca H - adică FP și GQ să fie tangente parabolei; deci F și G trebuie căutate pe dreptele HP și HQ .

Pe de altă parte, vrem un polinom de gradul *trei* care să „reprezinte” cumva, arcul de parabolă $z(t)$; cubica respectivă ar trece prin capetele P și Q (pentru $t = 0$ și $t = 1$) dacă polinomul ar conține monoamele $(1 - t)^3P$ și t^3Q , iar celelalte două monoame ar conține $t(1 - t)$ (încât ele să nu afecteze valorile în capetele $t \in \{0, 1\}$). Observând că $(1 - t) + t = 1$, putem satisface aceste cerințe înmulțind $z(t)$ cu $(1 - t)$ și respectiv cu t și adunând apoi rezultatele; rezultă astfel această rescriere:

$$z(t) = (1 - t)^3P + (1 - t)^2t(2H + P) + (1 - t)t^2(2H + Q) + t^3Q$$



`P moveto F G Q curveto`

Punctele de control căutate F și G ar fi reprezentate de cei doi coeficienți din mijloc, dar nu direct - fiindcă (de exemplu, pentru primul coeficient) punctul de afix $2H + P$ este *exterior* dreptei HP (originea planului fiind fixată arbitrar). Pentru ca F să se afle „la momentul” t pe segmentul orientat \overline{PH} și în același timp, să se afle pe raza polară a punctului $2H + P$ trebuie îndeplinită pentru un anumit factor λ , condiția: $(1 - t)P + tH = \lambda(2H + P)$ din care deducem $2\lambda = t$ și $\lambda = 1 - t$, care adunate, ne dau $\lambda = \frac{1}{3}$. Prin urmare $F = \frac{1}{3}(2H + P)$; pentru celălalt coeficient este suficient să schimbăm P cu Q (dar putem și repeta analog, calculul) și avem $G = \frac{1}{3}(2H + Q)$.

Pentru a evita factorul $\frac{1}{3}$, putem amplifica monoamele din mijloc cu 3, obținând o expresie mai obișnuită a cubicei Bézier:

$$z(t) = (1 - t)^3 P + 3(1 - t)^2 t F + 3(1 - t) t^2 G + t^3 Q, \quad t \in [0, 1]$$

asociate capetelor unui arc de curbă date de coeficienții extremi și punctelor de control date de coeficienții din mijloc.

8 Instrucțiunea `curveto`

Cubicele Bézier sunt modelate în *PostScript* prin operatorul `curveto`: acesta presupune că punctul curent (stabilit de exemplu printr-o instrucțiune `moveto`) este capătul de start al arcului și cere de pe stivă coordonatele punctelor de control și pe cele ale capătului final. De exemplu, pentru arcul de parabolă \mathcal{P} avem din §6 $P(0, 1)$, $Q(1, 0)$ și $H(1, 0.5)$ iar după §7 găsim $F = \frac{1}{3}(2H + P) = (\frac{2}{3}, \frac{2}{3})$ și $G = (1, \frac{1}{3})$; deci pentru a obține \mathcal{P} sunt suficiente aceste două instrucțiuni: `0 1 moveto` (care stabilește P ca punct curent) și apoi `0.66 0.66 1 0.33 1 0 curveto`; desigur că n-am introduce „0.66 0.66”, ci am prefera `'2 3 div dup'`.

În programul următor, redefinim față de §3 'Parabola' (folosind aceeași metodă ca la definiția 'Kardioid' din §3.2); aceasta produce un contur poligonal pentru \mathcal{P} cu $N=100$ segmente (instrucțiuni `lineto`). Adăugăm apoi o procedură care produce \mathcal{P} cu o *singură* instrucțiune `curveto`; dar ne convingem,

folosind `pathforall` și `flattenpath` că de fapt, această instrucțiune acoperă la execuție (prin `stroke`) un anumit număr (dar mic, comparând cu $N=100$) de instrucțiuni `lineto`.

```
%!PS-Adobe-2.0 EPSF-2.0
/N 100 def
/Parabola { % prin N segmente
    0 1 moveto
    0 1 N {N div dup 1 exch sub sqrt lineto} for % i/N  $\sqrt{1-i/N}$ 
} bind def

/Parabola3 { % drept cubică Bézier (o instrucțiune 'curveto')
    0 1 moveto
    2 3 div dup 1 1 3 div 1 0 curveto
} bind def

108 108 scale 1 2 translate .004 setlinewidth

gsave .65 setgray
    Parabola fill % „umple” conturul poligonal (de N segmente)
grestore

gsave 1 0 0 setrgbcolor
    Parabola3 % prin 'curveto'
    {[3 1 roll] == } {[7 1 roll (curveto)] == } {} pathforall
    (\n) print
    flattenpath % înlocuiește 'curveto' prin secvențe 'lineto' echivalente
    {[3 1 roll] == } {[3 1 roll (lineto)] == } {} {} pathforall
    stroke % intern, 'stroke' va aplica 'flattenpath'
grestore
```

`stroke` (care controlează, în final, trasarea efectivă, pe ecran sau pe hârtie) înlocuiește automat conturul indicat într-o instrucțiune `curveto`, printr-un contur („echivalent” cubicei Bézier inițiale) constituit din instrucțiuni `lineto` – probabil chiar acelea pe care le-am cerut prin `pathforall` (după ce am liniarizat direct, invocând `flattenpath`) și pe care le putem vedea executând programul prin *GS*:

```
vb@Home:~/keps$ gs -q par_bez.eps
[-1.73843237e-05 0.999990702] % 0 1 moveto
[0.666680694 0.66666311 1.00000823 0.333335608 1.00000823
 8.06229491e-06 (curveto)]
% flattenpath transformă conturul într-o secvență (echivalentă) de lineto:
[-1.73843237e-05 0.999990702]
[0.0593211092 0.970321417 (lineto)]
[0.234326661 0.874992847 (lineto)]
[0.437496513 0.749995053 (lineto)]
[0.609363139 0.624997199 (lineto)]
[0.749969602 0.499999374 (lineto)]
[0.859358788 0.37500155 (lineto)]
[0.937487841 0.250003725 (lineto)]
[0.984356642 0.125005886 (lineto)]
[1.00000823 0.0312682688 (lineto)]
```

```
[1.00000823 8.06229491e-06 (lineto)]  
>>showpage, press <return> to continue<<
```

Dacă decupăm secvența celor 10 instrucțiuni 'lineto' afișate și o încorporăm (eliminând desigur, parantezele) la sfârșitul programului, putem constata că rezultă (suprapus) același contur ca și cel produs de 'Parabola' și de 'Parabola3'.

Este interesant de comparat: noi am generat segmentele (prin `for`) folosind (ceea ce este absolut uzual) un pas *constant* (aici, 0.01), fără a distinge în vreun fel punctele curbei; în schimb, `flattenpath` (sau `stroke`) - atunci când liniarizează conturul indicat în `curveto` - distinge cumva (ceea ce este desigur, mai *intelligent*), între părțile mai întinse și cele mai bombate ale arcului, parcurgându-le cu pași ceva mai mari, respectiv ceva mai mici (a vedea diferențele absciselor la primele și respectiv la ultimele instrucțiuni 'lineto' dintre cele redată mai sus în [...]).

Pare deci *mai bine* (până la vreo probă contrarie) să calculăm punctele de control necesare și să folosim `curveto`, decât să iterăm `lineto` pe 100 de pași echidistanți (și de obicei, mai mulți), trasând câte un segment de la punctul curent la cel următor; în cazul unei curbe mai „largi” sau mai complicate, ne putem gândi să o segmentăm întâi în câteva bucăți și să folosim `curveto` pentru fiecare dintre acestea.

8.1 Rațiunea de a fi a instrucțiunii `curveto` (litera 'S')

`lineto` și `curveto` *nu* sunt instrumente de „grafică pe calculator” (precum de exemplu, funcțiile `plot()` din **R**) - ci sunt instrucțiuni proprii pe care PostScript *le folosește efectiv*, în scopul predeclarat de a formula o pagină astfel încât descrierea respectivă să poată fi interpretată la fel pe orice dispozitiv de redare a paginii.

Punctele sunt văzute ca niște perechi de numere (și nu există instrucțiuni pentru a le „trasa” ca atare); punctele vor putea arăta diferit de la un dispozitiv la altul, după cum este „pixelul” sau „punctul tipografic” al acestuia. Dar *ansamblul* de puncte constituit de un segment sau un arc Bézier va arăta „la fel”, indiferent de dispozitiv sau scară - mai ales că transformările posibile nu se aplică figurii, ci sistemului de coordonate în care este exprimat conturul; tocmai de aceea, componentele paginii (inclusiv, caracterele) sunt descrise folosind `lineto` și `curveto`.

Literele și celelalte caractere sunt văzute ca fiind fiecare, un anumit *contur închis*, format din segmente și curbe Bézier; astfel, ele își păstrează mai bine forma dacă se aplică scalări sau alte transformări - spre deosebire de cazul când ar fi reprezentate static, prin matrici predefinite de puncte.

Prin operatorul `charpath` putem obține conturul existent pentru un caracter; de exemplu, (S) `false charpath` va adăuga conturului curent pe cel asociat pentru litera 'S' în cadrul fontului curent (dacă acest font nu este unul *protejat*). Iar dacă folosim apoi `pathforall` (cum am mai arătat), putem

afișa secvența de instrucțiuni care conturează litera respectivă; în următorul program am preluat din această secvență partea care corespunde conturului interior al lui 'S', în fontul Times-Roman (precizăm că în general, vom reda coordonatele din instrucțiunile `curveto` rotunjindu-le la a 4-a zecimală):

```
%!PS-Adobe-2.0 EPSF-2.0
%%BoundingBox: 152 136 270 240

/Times-Roman findfont 18 scalefont setfont

144 144 translate 4 4 scale

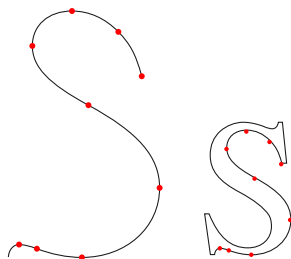
% extragem dintr-o sesiune de lucru cu Ghostscript, conturul interior al lui 'S'
3.36217046 -0.464388192 moveto
3.3993 0.2043 3.8266 0.7059 4.36524916 0.705870092 curveto
4.7553 0.7059 5.3498 0.5758 6.0370 0.3158 curveto
7.3931 -0.2043 8.8605 -0.5015 10.2537 -0.5015 curveto
14.3960 -0.5015 17.5353 2.3033 17.5353 6.0185 curveto
17.5353 8.9348 15.5663 11.2010 10.8667 13.7645 curveto
7.1144 15.7892 5.6098 17.3495 5.6098 19.3185 curveto
5.6098 21.2689 7.1144 22.5878 9.3249 22.5878 curveto
10.9224 22.5878 12.4270 21.9191 13.6716 20.6374 curveto
14.7861 19.4857 15.2877 18.5755 15.8635 16.4765 curveto

21 0 moveto % punctul de start pentru următorul contur
(S) false charpath % adaugă conturului de mai sus, conturul literei 'S'

.1 setlinewidth .1 setgray
stroke % trasează efectiv cele două contururi

1 0 0 setrgbcolor
4.36524916 0.705870092 moveto % punctează capătul final pentru prima 'curveto'
4.36524916 0.705870092 .2 0 360 arc fill

% capătul final pentru a doua instrucțiune 'curveto', a treia, etc.
```



Am marcat cu câte un mic disc roșu (produs prin `arc fill`) capătul *final* al fiecăreia dintre cele 9 bucăți `curveto` ale conturului interior al literei (coordonatele cerculețului sunt date de *ultimele două* valori din instrucțiunea `curveto` respectivă); acest contur este de două ori mai mare decât cel corespunzător din conturul literei redat în partea dreaptă a imaginii, fiindcă în sesiunea de lucru cu *GS* din care l-am preluat am folosit `36 scalefont`, în timp ce în programul de mai sus avem doar `18 scalefont`:

```

vb@Home:~/keps$ gs -q % sesiune de lucru interactiv în Ghostscript
GS> /Times-Roman findfont 36 scalefont setfont
GS> 0 0 moveto
GS> (S) false charpath
GS> {[3 1 roll (moveto)] == } {[3 1 roll (lineto)] == }
GS<2> {[7 1 roll (curveto)] == } {(closepath) == }
GS<4> pathforall
[15.9749537 24.0367336 (moveto)]
[15.2133579 24.0367336 (lineto)]
[15.0648 23.2566 14.6747 22.8293 14.0802 22.8293 (curveto)]
...
[6.3157 0.7802 4.1052 2.7306 2.3219 7.0773 (curveto)]
[1.50461781 7.07727623 (lineto)]
[2.56342292 -0.464388192 (lineto)]
[3.36217046 -0.464388192 (lineto)]
[3.3993 0.2043 3.8266 0.7059 4.3652 0.7059 (curveto)]
...
[14.7861 19.4857 15.2877 18.5756 15.8635 16.4765 (curveto)]
[16.755127 16.4764938 (lineto)]
[15.9749537 24.0367336 (lineto)]
(closepath)
[20.015131 0.0 (moveto)]
GS>

```

Bineînțeles că am folosit {[7 1 roll (curveto)] == }, având în vedere că `curveto` are 6 parametri. Litera este un contur închis (se încheie prin `closepath`), constituit dintr-un sub-contur „exterior” (în cazul de față, cu 10 instrucțiuni `curveto`) și unul „interior”, conectate și completate prin câteva instrucțiuni `lineto`. În final, `20.015131 0.0 moveto` stabilește „punctul curent” de la care să înceapă următoarea trasare de contur, dacă există (încât în programul de mai sus am putut estima prin `21 0 moveto`, unde să adaug conturul întreg al literei).

9 Aproximarea unei curbe prin cubice Bézier

Am ilustrat mai înainte faptul că *PostScript* conturează literele folosind secvențe de instrucțiuni `curveto`; în treacăt fie zis – și noi facem la fel în clasa *întâia*: desenăm literele cu „bastonașe” și arce de legătură (angajând intuitiv și anumite „puncte de control”). Să vedem și cum am putea folosi cubice Bézier pentru a contura o curbă sau alta, plecând de la ecuațiile acesteia; subliniem că *nu* graficul ca atare, ne interesează (că atunci, l-am obține fără bătaie de cap folosind **R**, sau vreun alt pachet de grafică); vrem să vedem cum ajungem la un program care să ne contureze curba respectivă, cât se poate de exact și cu cât mai puține instrucțiuni `curveto`.

Pentru cubica Bézier de capete P , Q și cu punctele de control $F \equiv (2H + P)/3$ și $G \equiv (2H + Q)/3$ – unde H era *intersecția tangentelor în capete* – ajunseseam la exprimarea (literele drepte desemnând afixele punctelor omonime,

în \mathbb{C}):

$$z(t) = (1-t)^3 P + 3(1-t)^2 t F + 3(1-t)t^2 G + t^3 Q, \quad t \in [0, 1] \quad (1)$$

Conturul asociat se obține fixând „punctul curent” în P și indicând operatorului *curveto* coordonatele punctelor F , G și Q . Însă determinarea punctelor F și G plecând de la intersecția H a tangentelor în capete este incomodă.

Putem ocoli determinarea prealabilă a lui H , exprimând coeficienții F și G chiar din ecuația lui $z(t)$: *derivând*, găsim $z'(0) = -3P + 3F$ și $z'(1) = -3G + 3Q$; deci

$$F = P + \frac{1}{3}z'(0), \quad G = Q - \frac{1}{3}z'(1) \quad (2)$$

$z'(0)$ și $z'(1)$ sunt pantele tangentelor curbei în capetele P și Q (fiindcă avem $z(0) = P$ și $z(1) = Q$). Pentru unele „cazuri speciale” trebuie totuși să angajăm H ; de exemplu, dacă $z'(1) = \infty$ și $z'(0) \neq \infty$ atunci determinăm întâi intersecția H a tangentei în P cu verticala prin Q și apoi căutăm cumva G pe segmentul QH („teoretic”, adică ignorând complet erorile de aproximare, avem $QG = \frac{2}{3}QH$).

Pentru a aproxima conturul unei curbe oarecare \mathcal{C} (dată fiind, într-o formă sau alta, ecuația acesteia) putem proceda astfel: împărțim \mathcal{C} în câteva părți, având fiecare câte un capăt inițial P și unul final Q ; determinăm valorile în P și Q ale derivatei funcției asociate lui \mathcal{C} și găsim prin formulele (2) coeficienții F și G ; „identificăm” arcul lui \mathcal{C} delimitat de P și Q prin cubica Bézier dată de P , F , G și Q .

Desigur, „găsim F și G prin formulele (2)” trebuie regândit, fiindcă P și Q de pe curba \mathcal{C} se obțin din ecuația acesteia nu pentru $t = 0$ și $t = 1$, ci eventual pentru $t = \tau_0$ și $t = \tau_1$ – indicând subintervalul parcurs de parametrul în funcție de care se obține porțiunea lui \mathcal{C} de capete P și Q .

Schimbarea de variabilă $t = \frac{\tau - \tau_0}{\tau_1 - \tau_0}$ transformă biunivoc $t \in [0, 1]$ în $\tau \in [\tau_0, \tau_1]$. Pentru (2) nu interesează ce devine (1) prin această substituție, ci doar cum se transformă $z'(t)$ trecând la noua variabilă τ ; plecând de la regula de „derivare înlănțuită”, avem: $\frac{dz}{dt} = \frac{dz}{d\tau} \frac{d\tau}{dt} = (\tau_1 - \tau_0) \frac{dz}{d\tau}$. Aceasta înseamnă că în loc de $z'(t)$ trebuie să punem $h z'(\tau)$, notând $h = \tau_1 - \tau_0$; deci formulele (2) se adaptează la intervalul $[\tau_0, \tau_1]$ astfel:

$$F = P + \frac{h}{3}z'(\tau_0), \quad G = Q - \frac{h}{3}z'(\tau_1), \quad \text{unde } h = \tau_1 - \tau_0 \quad (3)$$

Conturul lui \mathcal{C} va fi constituit dintr-un număr de instrucțiuni *curveto* egal cu numărul părților considerate; pentru a crește calitatea „identificării” cu arce Bézier, trebuie să folosim o partiționare a lui \mathcal{C} cu un număr suficient de mare de părți (având în vedere eventual și anumite „puncte speciale”, cum ar fi vârfurile și punctele de inflexiune).

10 Aproximarea semicardioidei prin cubice Bézier

Reluăm din §3.2 procedura `Kardiod`, prin care conturul semicardioidei superioare \mathcal{K} (pe care acum, îl vom „umple” folosind `fill`) este constituit prin 1000 de instrucțiuni `lineto` (producând un grafic suficient de exact):

```
%!PS-Adobe-2.0 EPSF-2.0
% coordonatele punctelor semicardioidei K(t) (t este implicit, în vârful stivei)
/X {2 mul dup 1 sub mul} bind def % X(t) = 2t(2t - 1); Y(t) = 4t√t(1 - t)
/Y {dup dup 1 exch sub mul sqrt mul 4 mul} bind def

/N 1000 def % aproximare poligonală (cu N segmente) a semicardioidei superioare
/Kardiod {
    0 0 moveto % conturul pleacă din K(0) (nodul cardioidei)
    1 1 N { N div dup X exch Y lineto } for % K(t)—K(t+1/N), t=i/N
} bind def

108 108 scale 2 1 translate
Kardiod % instanțiază semicardioida (pentru noul sistem de coordonate)
.5 setgray fill % „închide” și umple conturul cu pixeli gri
```

Dăm întâi un mic exemplu de constituire *manuală* (calculând direct, după formulele (3)), a unor instrucțiuni `curveto` care să „acopere” cumva, semicardioida umplută cu gri obținută prin programul de mai sus (vezi figura de mai jos).

Cel mai simplu (pentru calcul manual - altfel, vom vedea că nu este deloc bine) ar fi să partiționăm în *două* bucăți: arcul descris pentru $t \in [0, \frac{1}{2}]$, având capetele $O(0, 0)$ (nodul cardioidei) și $B(0, 1)$, respectiv pentru $t \in [\frac{1}{2}, 1]$ de capete $B(0, 1)$ și $A(2, 0)$ (vârful cardioidei). Urmează să calculăm pentru fiecare arc, punctele F și G din (3).

Amintim că punctele lui \mathcal{K} sunt date de

$$x(t) = 2t(2t - 1), \quad y(t) = 4t\sqrt{t(1 - t)}, \quad t \in [0, 1]$$

și găsim ușor

$$x'(t) = 2(4t - 1), \quad y'(t) = 2(3 - 4t)\sqrt{\frac{t}{1 - t}} \quad (t \neq 1; y'(1) = \infty)$$

Pentru capătul O , avem: $z'_O = (x'(t), y'(t))|_{t=0} = (-2, 0)$ deci după (3), cu $h = \frac{1}{2}$, avem $F = O + \frac{h}{3}z'_O = (-\frac{1}{3}, 0)$.

Pentru capătul B , avem: $z'_B = (x'(t), y'(t))|_{t=0.5} = (2, 2)$ și după (3) rezultă $G = B - \frac{h}{3}z'_B = (0, 1) - \frac{1}{6}(2, 2) = (-\frac{1}{3}, \frac{2}{3})$.

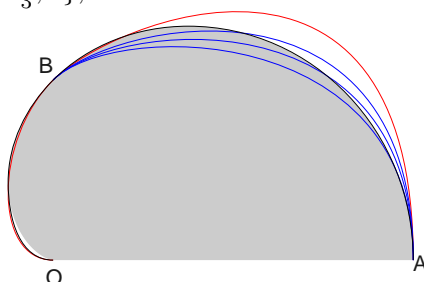
Prin urmare, cubica Bézier asociată primului arc va fi dată de $O(0, 0)$ $F(-1/3, 0)$ $G(-1/3, 2/3)$ $B(0, 1)$ `curveto`, ceea ce adăugăm în programul de mai sus astfel:

```
0 0 moveto -1 3 div 0 -1 3 div 2 3 div 0 1 curveto
```

Pentru arcul lui \mathcal{K} dintre B și A putem determina $F = B + \frac{h}{3}z'_B = (\frac{1}{3}, \frac{4}{3})$, dar G nu mai poate fi obținut prin (3) fiindcă $y'_A = y'(1) = \infty$; am dat de o dilemă tipică față de aplicarea formulelor (3) - cazul în care tangenta la curbă într-un capăt al arcului este verticală. Soluția *ad-hoc* (dar nici nu știm alta) ar consta în a alege G undeva pe tangenta în A , deci $G(2, \lambda)$; luăm $\lambda = 2$ și adăugăm în program:

```
1 3 div 4 3 div 2 2 2 0 curveto
0 0 1 setrgbcolor stroke % cele două cubice sunt trasate cu roșu
```

Pentru comparație, am repetat ultima instrucțiune `curveto` pentru cazurile $\lambda \in \{2 - \frac{1}{3}, 2 - \frac{2}{3}, 1\}$, colorând acum cu albastru:



Contururile rezultate astfel (cel format din două arce roșu-roșu, sau cele constituite din arcul roșu și unul dintre cele albastre) sunt departe de o aproximare acceptabilă a semicardioidii și chiar este greu de crezut că separând în numai două arce am putea obține una acceptabilă.

Să ștergem instrucțiunile `curveto` calculate manual mai sus și să adoptăm acum ideea cea mai simplă: împărțim intervalul $[0, 1]$ în N bucăți egale (cel puțin patru) și pentru fiecare dintre acestea determinăm punctele de control necesare instrucțiunii `curveto` pentru aproximarea porțiunii corespunzătoare a lui \mathcal{K} . Vom scrie programul necesar pentru aceasta fără cine știe ce elaborare, doar ca să vedem cam „cum s-ar face”; dar oricum am elabora, acest program va fi mult mai amplu (și mai complicat) decât procedura inițială *Kardioid* (care practic are o singură linie de program). Ce „deranja” la *Kardioid* era faptul că producea 1000 de instrucțiuni `lineto`; acum vom produce \mathcal{K} într-o aproximare acceptabilă (dar nu așa de bună ca folosind *Kardioid*) cu numai $N=6$ instrucțiuni `curveto` (sau mai bine, $N=9$ și mai bine, $N=12$; cu `flattenpath` și `pathforall` se va putea vedea că acestea acoperă maximum 50-60 de instrucțiuni `lineto`).

Introducem întâi procedurile `dX` și `dY`, pentru a calcula $x'(t)$ și $y'(t)$ (valoarea t fiind preluată de pe stiva operanzilor); apoi fixăm N (a încerca valorile 2..6..9; pentru $N=10$ sau $N=11$ programul eșuează, în urma propagării unor erori „de aproximare” - cum am mai observat în §3.1; pentru $N=12$ iarăși „merge”). Introducem variabilele $h=1/N$ și $h3=h/3$, fiindcă aceste valori vor interveni frecvent în calcule; apoi inițializăm `t0`, fixăm punctul curent în $O(0,0)$ și repetăm de N ori secvența de instrucțiuni care plecând de la capătul $P \equiv (x(t0), y(t0))$, determină $Q \equiv (x(t1), y(t1))$ cu $t1 = t0 + h$ și

apoi calculează după formulele (3) punctele de control F și G - producând instrucțiunea `curveto` pentru P, F, G și Q.

Am întâmpinat faptul că $y'(1) = \infty$ folosind `ifelse`: când $t1 \geq 0.99$, intersectăm tangenta în P cu verticala $x=2$ (tangenta în vârful cardioidei) găsim H la ordonata $y_H = y(t_0) + \frac{y'(t_0)}{x'(t_0)}(2 - x(t_0))$; punctul G are abscisa 2 și ar trebui să aibă ordonata $\frac{2}{3}y_H$ - dar (cred că din cauza cumulării erorilor de aproximare) a trebuit să experimentez pentru a apropia mai mult cubica respectivă de cardioidă, mărinnd puțin ordonata lui G până la valoarea $\frac{2.6}{3}y_H$ (optând în final pentru $2.58/3$):

```

/dX {8 mul 2 sub} bind def % X'(t) = 8t - 2
/dY {/t exch def % t == 6 8 t mul sub t 1 t sub div sqrt mul
} bind def % Y'(t) = 2(3-4t)SQRT(t/(1-t))

/N 9 def
/h 1 N div def % 1/N
/h3 h 3 div def % h/3
/t0 0 def t0 X t0 Y moveto
N {
  /t1 t0 h add def % t1 = t0 + h (t0 referă capătul inițial al arcului curent)
  t0 X h3 t0 dX mul add % F (primul punct de control)
  t0 Y h3 t0 dY mul add
  t1 0.99 ge % la t1==1 avem tangentă verticală și trebuie găsit H
  { 2 t0 Y t0 dY t0 dX div 2 t0 X sub mul add
    2.58 3 div mul } % G este pe segmentul QH, încât QG/GH ≈ 2/3
  { t1 X h3 t1 dX mul sub % G (al doilea punct de control) dacă t1 < 0.99
    t1 Y h3 t1 dY mul sub } ifelse
  t1 X t1 Y % Q (capătul final pentru arcul curent)
  curveto
  /t0 t1 def % t0 = t1
} repeat
1 0 0 setrgbcolor 0.005 setlinewidth stroke

```

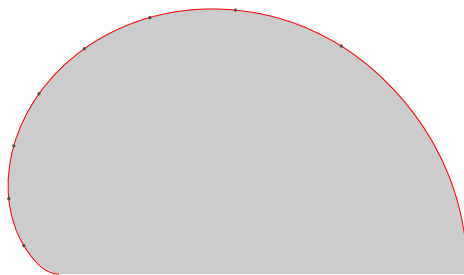
Am marcat și punctele semicardioidei care sunt capetele finale ale celor 9 cubice Bézier determinate prin secvența de mai sus, adăugând în final:

```

/t0 0 def
0.3 setgray
N { /t1 t0 h add def % t1 = i/N, i=1..N
  t1 X t1 Y moveto
  t1 X t1 Y .007 0 360 arc fill % marchează punctul (x(t1), y(t1))
  /t0 t1 def
} repeat

```

În urma experienței de lucru descrise mai sus devine totuși clar, că mai totdeauna este de preferat un program simplu, modelând aproximarea poligonală obișnuită (fie și cu 1000 de `lineto`, generate desigur printr-o instrucțiune repetitivă), unuia care constituie și înlanțuie cubice Bézier care să aproximeze porțiuni ale curbei (mai ales dacă vrem o reprezentare cât mai exactă). `curveto` a fost introdusă nu pentru a trasa curbe pe baza ecuațiilor acestora, ci mai degrabă pentru a permite realizarea *interactivă* (pe ecran, folosind mouse-ul)



aproximează \mathcal{K} prin $N = 9$ cubice Bézier ($t = i/9, i = 1..9$)

de figuri (sau caractere) prin intermediul unor aplicații ca *Adobe Illustrator*, sau *CorelDraw*, *Inkscape*, etc.

11 Aproximarea semicardioidei folosind MetaPost

Care este (sau, cum determinăm) numărul minim de instrucțiuni *curveto* (cubice Bézier) pentru a reprezenta o curbă indicată (cu diferențe imperceptibile la scară uzuală, față de graficul trasat - pe ecran sau pe hârtie - printr-un număr mare de puncte)?

Mai sus ajunseseam la o reprezentare cu 9 instrucțiuni *curveto* a lui \mathcal{K} , printr-un program *PostScript* generic (aplicabil *mutatis mutandis* și altor curbe), care segmenta intervalul $[0, 1]$ în părți egale și determina pentru fiecare parte punctele de control necesare aproximării prin *curveto* a porțiunii corespunzătoare a lui \mathcal{K} ; calculam punctele de control folosind derivatele în capetele subintervalului, lovindu-ne astfel și de situația dilematică $y'(1) = \infty$ (când a trebuit să experimentăm asupra valorii „teoretice”).

A devenit clar că este mai bine dacă segmentăm curba nu prin puncte legate arbitrar la valorile $i/N, i = 1..N$ ale parametrului t , ci prin unele puncte *caracteristice* ei (puncte de extrem, de inflexiune, etc.). Pe de altă parte, ne-a devenit clar că este mai avantajos să folosim *MetaPost*: operatorul desemnat prin `'..'` (denumit „*path_join*”) creează o cubică Bézier care unește cele două puncte care (împreună eventual, cu *direcția* tangentei) îi sunt indicate, angajând *intern* anumiți algoritmi (destul de complicați pentru a ne feri să-i explicăm noi) de determinare a punctelor de control (spre deosebire de *PostScript*, în care avem doar posibilitatea elementară de a le specifica noi înșine).

Avem $x'(\frac{1}{4}) = 0$ (cu $y'(\frac{1}{4}) \neq 0$), deci în punctul $(x(\frac{1}{4}), y(\frac{1}{4})) = (-\frac{1}{4}, \frac{\sqrt{3}}{4})$ tangenta la \mathcal{K} este verticală.

$y'(1)/x'(1) = \infty$, deci în $(x(1), y(1)) = (2, 0)$ tangenta este verticală.

$y'(0) = y'(\frac{3}{4}) = 0$, deci tangentele în $(0, 0)$ și $(\frac{3}{4}, \frac{3\sqrt{3}}{4})$ sunt direcționate orizontal.

Un alt punct important este $(x(\frac{1}{2}), y(\frac{1}{2}))$, fiindcă punctele lui \mathcal{K} provenite din valori ale parametrului t simetrice față de mijlocul $\frac{1}{2}$ al intervalului $[0, 1]$

sunt legate (două câte două) prin proprietăți semnificative (suma distanțelor la origine este egală cu 2; Oy bisectează unghiul razelor polare; etc.)

Avem $x'(\frac{1}{2}) = y'(\frac{1}{2}) = 2$, deci tangenta în $(x(\frac{1}{2}), y(\frac{1}{2}))$ este paralelă cu prima bisectoare a sistemului de axe.

Cele cinci „puncte importante” evidențiate mai sus corespund împărțirii intervalului $[0, 1]$ în patru subintervale egale; dar acum am ajuns la ele plecând de la proprietăți ale funcției (legate de direcția tangentelor), în loc de a asuma din start ca în §10, o partiționare echidistantă pe $[0, 1]$ (independentă de funcție).

z_1, \dots, z_5 fiind punctele lui \mathcal{K} rezultate pentru $t = \frac{i}{4}$, $i = 0..4$, putem formula conturul `z1{left}..z2{up}..z3{dir 45}..z4{right}..z5`, însemnând în *MetaPost* constituirea și îmbinarea a patru cubice Bézier: prima pleacă orizontal spre stânga din z_1 , curbează după punctele sale de control și ajunge vertical în z_2 ; a doua continuă spre z_3 , ajungând aici la 45 de grade față de orizontală; ș.a.m.d.

Un program *MetaPost* prin care să evidențiem acest contur și deasemenea (pentru comparație) conturul obținut prin marcarea unui număr suficient de mare de puncte ale lui \mathcal{K} , se poate formula într-un fișier „*smcd.mp*” ca definiție de figură `beginfig(1); ... endfig`. Dar în principiu, în prealabil avem de setat anumite aspecte grafice (*fontul* de utilizat pentru etichetare, o *scalare* și *poziționare* în pagină convenabile, etc.) și de formulat subroutine generice sau *macro*-uri de care vom avea nevoie în diverse definiții de figură (astfel, `smc_point(t)` modelează ecuațiile lui \mathcal{K} ; `scardioid` folosește `smc_point` pentru a produce o variabilă de tip `'picture'` care la instanțiere, va marca un anumit număr de puncte ale lui \mathcal{K} ; `path_nodes` etichetează nodurile conturului primit ca argument, poziționând eticheta pe direcția normalei la contur în punctul respectiv):

```
outputtemplate := "%j-%c.eps"; % produce 'smcd-1.eps', 'smcd-2.eps', etc.
prologues := 3; % asigură înglobarea fontului, în fișierul EPS produs
defaultfont := "phvr8r"; % fontul 'Helvetica' (vom eticheta nodurile conturului)
defaultscale := 1.2; % mărește caracterele de la 8 la 8*1.2 puncte tipografice
% mărește de 200 de ori; mută originea spre dreapta cu 10bp și în sus cu 100bp:
def scale_shift = scaled 200 shifted (10, 100) enddef;

vardef smc_point(expr t) = % punctul semicardioidei asociat lui t∈[0,1]
(2*t*(2*t-1), 4*t*sqrt(t*(1-t)))
enddef;
def scardioid = % trasează semicardioida prin 100 de puncte (instrucțiuni 'lineto')
image(
pickup pencircle scaled 2.3;
for t = 0 step .01 until 1:
draw smc_point(t) scale_shift withcolor (1, 0.3, 0);
endfor
) % variabilă de tip 'picture' (o vom putea instanția în oricare figură)
enddef;

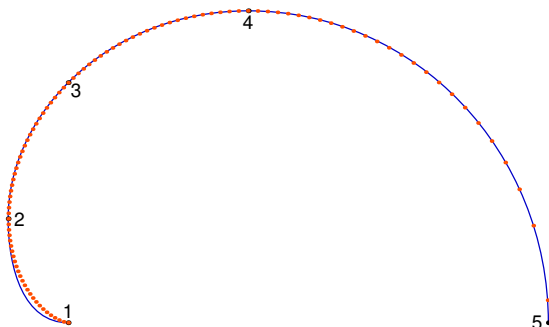
def path_nodes(expr q) = % marchează nodurile conturului
```

```

pickup pencircle scaled 3; pair Z;
for t=0 upto length(q):
  Z := point t of q;
  draw Z; % marchează nodul și îl etichetează pe direcția normalei la curbă
  label(decimal(t+1), 7 unitvector(direction t of q)
        rotated(-90) shifted Z) withcolor
        .1 black;
endfor
enddef;

beginfig(1); path p; % „conturul” este o variabilă de tip ‘path’
z1 = (0, 0); % nodul cardioidei (tangentă orizontală)
z2 = (-1/4, sqrt(3)/4); % cel mai din stânga punct (cu tangentă verticală)
z3 = (0, 1); % pentru t=0.5; tangenta este paralelă cu prima bisectoare
z4 = (3/4, (3*sqrt(3))/4); % cel mai de sus punct (tangentă orizontală)
z5 = (2, 0); % vârful cardioidei (tangentă verticală)
p = ( z1{left}..z2{up}..z3{dir 45}..z4{right}..{down}z5 )
    scale_shift;
pickup pencircle scaled 0.8; % grosimea peniței
draw p withcolor .78blue; % cele 4 cubice Bézier (cu nuanță de albastru)
path_nodes(p); % marchează și etichetează capetele arcelor Bézier
draw scardioid; % instanțiază semicardioida conturată prin ‘lineto’
endfig;

```



Invocând compilatorul de *MetaPost*, prin `mpost smcd.mp`, obținem fișierul `'smcd-1.eps'` reflectat (printr-un „*Document Viewer*”, ca `evince`) în imaginea de mai sus; deschizând într-un editor de cod-sursă (ca `gedit`), putem identifica ușor liniile asociate în *PostScript* (prin compilarea programului de mai sus cu `mpost`) celor patru operatori `'..'`:

```

newpath 10 100 moveto
-26.74011 100 -40 144.2627 -40 186.60278 curveto
-40 229.53186 -20.38635 269.61365 10 300 curveto
49.55688 339.55688 104.02466 359.80835 160 359.80835 curveto
299.88953 359.80835 410 241.73889 410 100 curveto stroke

```

Dacă am înscrie deasupra acestor 5 linii `%!PS` (și apoi linia `50 100 translate`, având în vedere că prima instrucțiune `curveto` are punctul final la abscisa `-40`) și am salva fișierul ca „`fig-1.ps`”, atunci deschizându-l în `evince` vom regăsi graficul celor 4 arce `1-2-3-4-5` din imaginea de mai sus.

Acuma, să observăm că arcul albastru care unește punctele `1` și `2` (reprezentând prima instrucțiune `curveto`) diferă *sensibil* față de porțiunea

(marcată prin puncte colorate „orange”) din \mathcal{K} pe care voia să o aproximeze; deasemenea, măbind figura (spre 200%, prin operațiile obișnuite într-un „Document Viewer”) putem sesiza că arcul albastru final 4-5 este puțin-puțin „deasupra” punctelor orange ale lui \mathcal{K} .

Este clar că pe \mathcal{K} există un punct pe arcul 1-2 și unul pe arcul 4-5 în care tangenta ajunge *paralelă cu a doua bisectoare* a sistemului de axe; pentru aceste puncte trebuie să avem $y'(t) = -x'(t)$, adică $(3 - 4t)\sqrt{t} = (1 - 4t)\sqrt{1 - t}$.

Să observăm că această ecuație are „rădăcina străină” $\frac{1}{2}$ („străină” fiindcă duce la „1=-1”); ridicând la pătrat și ținând seama că astfel se introduce ca rădăcină și cea „străină”, obținem $32t^3 - 48t^2 + 18t - 1 = 0 \iff (2t - 1)(16t^2 - 16t + 1) = 0$. Prin urmare, valorile t care ne dau punctele lui \mathcal{K} în care tangenta are panta egală cu -1 sunt $t_{1,2} = \frac{1}{2} \pm \frac{\sqrt{3}}{4}$.

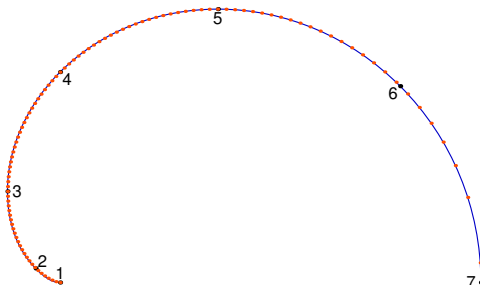
Adăugăm programului *MetaPost* de mai sus o a doua figură, considerând acum - prin `smc_point` ($t_{1,2}$) - și cele două puncte ale lui \mathcal{K} determinate mai sus:

```

beginfig (2) ;
  numeric sq; sq = sqrt (3) / 4;  % pentru a evita repetarea calculului
  z1 = (0, 0);
  z2 = smc_point (0.5 - sq);  % tangenta face 135 grade cu Ox
  z3 = (-0.25, sq);  % tangenta ajunge în poziție verticală
  z4 = (0, 1);  % tangenta este înclinată cu 45 grade
  z5 = (0.75, 3*sq);  % tangenta orizontală
  z6 = smc_point (0.5 + sq);  % tangenta are direcția egală cu (-45) grade
  z7 = (2, 0);
  path p, q;
  p := z1{left} .. z2{dir 135} .. z3{up} .. z4{dir
    45} .. z5{right} .. z6{dir -45} .. {down} z7;
  show p;  % afișează conturul constituit (variabila 'p')
  q := p scale_shift;  % scalează 'p', în vederea trasării efective
  pickup pencircle scaled 0.8; draw q withcolor .78blue;
  path_nodes(q);  % marchează și etichetează capetele arcelor Bézier
  draw scardioid;  % instanțiază semicardioida conturată prin 'lineto'
endfig;

end  % pentru a evita modul de lucru interactiv („stop! NU mai am figuri/întrebări”)

```



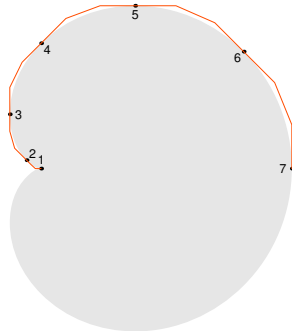
De data aceasta, reprezentarea lui \mathcal{K} (schițat cu 100 de puncte orange) prin cele 6 cubice Bézier (colorate albastru) este destul de „fidelă”.

Fiind folosit `show p`, compilatorul ne dezvăluie în fișierul ‘`smcd.log`’ constituția conturului (și am optat pentru valorile dinaintea scalării acestuia); să preluăm din acest fișier conturul `p` indicat și să adăugăm (înaintea declarației ‘`end`’) o nouă figură, în care să întruchipăm întreaga cardioidă (simetrizând `p` față de Ox cu `reflectedabout` și folosind apoi `buildcycle`) și să trasăm conturul poligonal al punctelor de control pentru cele 6 cubice Bézier care formează semicardioida superioară:

```

beginfig(3); % cardioida; poligonul punctelor de control
  path p, q, h, g, K;
  p = (0,0) .. controls (-0.04654,0) and (-0.08301,0.03397)
  ..(-0.11603,0.06699) .. controls (-0.21149,0.16245) and
  (-0.25,0.29778)
  ..(-0.25,0.43301) .. controls (-0.25,0.64766) and
  (-0.15193,0.84807)
  ..(0,1) .. controls (0.19778,1.19778) and (0.47012,1.29904)
  ..(0.75,1.29904) .. controls (1.07574,1.29904) and (1.3856,1.16344)
  ..(1.61603,0.93301) .. controls (1.86324,0.6858) and (2,0.34964)
  ..(2,0); % semicardioida superioară (6 cubice Bézier)
  g = p reflectedabout((0,0), (2,0)); % semicardioida inferioară
  K = buildcycle(p, reverse g); % „reunește”, întruchipând cardioida
  fill (K scale_shift) withcolor .8white;
  q = p scale_shift; % scaled 100 shifted (50, 300)
  path_nodes(q);
  h = point 0 of q for t=1 upto length(q) :
    —postcontrol t-1 of q — precontrol t of q endfor
    —point(length(q)) of q; % conturul poligonal al punctelor de control
  draw h withpen pencircle scaled 0.75 withcolor (1, 0.3, 0);
endfig;

```



Arcul 1–2 având lungimea foarte mică, punctele de control ale sale n-au putut fi rediate distinct (la scara folosită în program).

Punctele de control ale unei cubice Bézier se accesează prin `postcontrol` și respectiv `precontrol` („post” vizează pe cel care urmează nodului inițial al arcului, iar „pre” pe cel dinaintea nodului final). Punctele de control au fost astfel alese, încât segmentul care ar uni „precontrolul” unui arc cu „postcontrolul” arcului Bézier următor să fie *tangent* curbei pe care arcele respective o aproximează (cum se și vede pe figură); de aici și ideea aplicată mai sus: pentru a reprezenta o curbă cu un număr *cât mai mic* de cubice Bézier alegem cumva câteva puncte ale curbei în care cunoaștem direcțiile tangentelor

(și montăm câte o instrucțiune `curveto` pentru fiecare două astfel de puncte, vecine la parcurgerea într-un același sens a curbei).

În *MetaPost* acest mecanism de calcul este implicit, cerându-se doar capetele arcului și eventual, direcția tangentei (la intrare sau/și la ieșire) într-un capăt sau altul; el este *implicit* fiindcă nu se vizează o cubică Bézier ca atare (cum face `curveto` din *PostScript*), ci totdeauna, un *contur* format eventual (prin „`path_join`”) din mai multe cubice Bézier înlănțuite („înlănțuirea” acestora necesită corelarea tangențelor, evidențiată mai sus).

Anexă

Adăugăm câteva considerații elementare proprii, asupra **cardioidei** și semi-cardioidei.

A De la cerc, la cardioidă

Fixăm punctele O și A și fie C cercul de centru A cu raza AO ; notăm cu A' simetricul lui O față de A .

Fie R un punct oarecare pe C și fie T simetricul lui O față de R , iar T' cealaltă intersecție cu C a dreptei TA' ; fie P simetricul lui T' față de R .

Ce curbe descriu T și P , când R parcurge cercul C ?

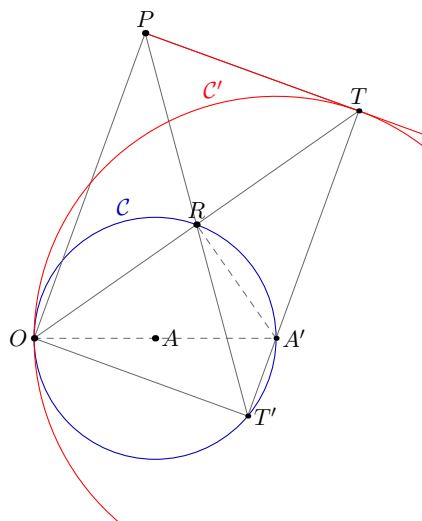
Din construcția indicată rezultă ușor că $OT'PT$ este un dreptunghi: $T'R$ este mediană în triunghiul dreptunghic $OT'T$ (avem $\angle OT'A' = 90^\circ$, fiindcă OA' este diametru în C), deci $T'R = OR$ – prin urmare, diagonalele $T'P$ și OT sunt egale.

În plus, $TA' = 2OA$ (fiindcă AR este linie mijlocie în $\triangle OA'T$, iar $AR = AO$); deci *locul lui T (când R parcurge C) este cercul C' de centru A' și rază $A'O = 2OA$.*

Obs. C' provine din C prin omotetia de centru O și raport 2, fiindcă pentru oricare puncte corespondente T și R avem $\overrightarrow{OT} = 2\overrightarrow{OR}$.

Fiindcă $PT \perp TA'$ și A' este centrul cercului C' , rezultă că PT este tangentă în T la C' ; altfel spus, P este proiecția lui O pe o tangentă a cercului C' .

Pentru a găsi ecuația curbei descrise de P , să reperăm punctele față de originea $O(0,0)$ și punctul unitar $A(1,0)$.



Cercul \mathcal{C}' (cu centrul $A'(2,0)$ și raza $OA' = 2$) are ecuația $(x-2)^2 + y^2 = 4$, care se mai scrie $x^2 + y^2 - 4x = 0$. Derivând în raport cu x , $2x + 2yy' - 4 = 0$, găsim panta tangentei în $T(\alpha, \beta) \in \mathcal{C}'$: $m = \left. \frac{dy}{dx} \right|_{x=\alpha} = \frac{2-\alpha}{\beta}$.

Deci ecuația tangentei la \mathcal{C}' în $T(\alpha, \beta)$ este $y - \beta = \frac{2-\alpha}{\beta}(x - \alpha)$, care (ținând cont imediat că avem $\alpha^2 + \beta^2 = 4\alpha$) se reduce la

$$\alpha(x - 2) + \beta y = 2x \quad (1)$$

Perpendiculara din $O(0,0)$ pe tangenta la \mathcal{C}' în $T(\alpha, \beta)$ are ecuația $y = -\frac{1}{m}x$, sau

$$\alpha y - \beta x = 2y \quad (2)$$

Rezolvăm (cu „regula lui Cramer”) sistemul de ecuații (1), (2) și obținem $\alpha = \frac{2(x^2+y^2)}{x^2+y^2-2x}$ și $\beta = \frac{4y}{x^2+y^2-2x}$; înlocuind în $\alpha^2 + \beta^2 - 4\alpha = 0$, găsim ecuația locului intersecției P a tangentei în T la \mathcal{C}' cu perpendiculara din O pe aceasta: $(x^2 + y^2)^2 + 4y^2 - 2(x^2 + y^2)(x^2 + y^2 - 2x) = 0$, sau într-o formă echivalentă

$$(x^2 + y^2 - 2x)^2 - 4(x^2 + y^2) = 0 \quad (3)$$

și recunoaștem că aceasta reprezintă *cardioida* cu nodul $O(0,0)$ și vârful $A'(2,0)$.

Obs. Locul proiecțiilor unui punct pe tangentele unei curbe date formează *podara* acesteia față de punctul respectiv; ceea ce am demonstrat mai sus revine la această proprietate binecunoscută: *podara unui cerc față de un punct al său este o cardioidă*. Podarele cercurilor (omotetice față de punctul comun O) \mathcal{C}' și \mathcal{C} sunt cardioide omotetice, cu nodul comun O .

B Proprietățile semicardioidii

Pentru $a > 0$ considerăm cardioida $\mathcal{K} : (x^2 - ax + y^2)^2 - a^2(x^2 + y^2) = 0$ și parabola $\mathcal{P} : y^2 = a(a - x)$; notăm cu V vârful lui \mathcal{P} și cu M un punct cu abscisa între 0 și a al lui \mathcal{P} . Să se arate că perpendiculara în M pe VM intersectează \mathcal{K} în focarele unei elipse tangente în O axei Ox .

(*Problema L361, Recreații Matematice* nr. 1/2019)

Notând $x^2 + y^2 = at^2$ (unde $t > 0$), \mathcal{K} devine $(t^2 - x)^2 - at^2 = 0$, adică $(t^2 - x - \sqrt{at})(t^2 - x + \sqrt{at}) = 0$; dar posibilitatea $t^2 - x + \sqrt{at} = 0$ trebuie exclusă, fiindcă ar conduce la $y^2 \leq 0$ (am găsi $y^2 = at^2 - x^2 = at^2 - (t^2 + \sqrt{at})^2 = -t^3(t + 2\sqrt{a})$ și cu $t > 0$ am avea $y^2 < 0$, absurd).

Deci neapărat, $t^2 - x - \sqrt{at} = 0$ - de unde $x = t(t - \sqrt{a})$; iar în acest caz, avem $y^2 = at^2 - x^2 = at^2 - t^2(t - \sqrt{a})^2 = t^2 \cdot t(2\sqrt{a} - t)$ și $y^2 \geq 0 \Leftrightarrow t \in [0, 2\sqrt{a}]$.

Prin urmare, cercurile $x^2 + y^2 = at^2$ taie graficul \mathcal{K} în cel mult două puncte care sunt simetrice față de Ox , ceea ce înseamnă că punctele semi-cardioidii superioare pot fi exprimate în mod unic prin parametrul t :

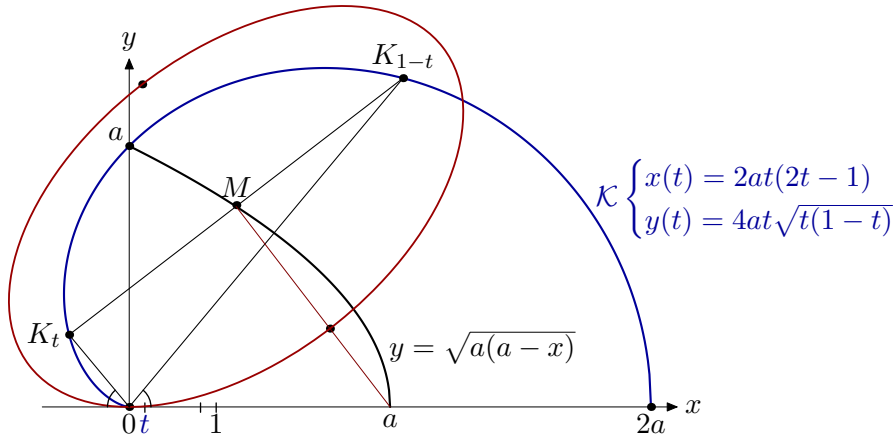
$$x = t(t - \sqrt{a}), \quad y = t\sqrt{t(2\sqrt{a} - t)}; \quad t \in [0, 2\sqrt{a}]$$

Dar să eliminăm dependența între t și a , scalând față de lungimea intervalului inițial: $t = 2\sqrt{a}\lambda$, cu $\lambda \in [0, 1]$; noua parametrizare—renotând totuși ‘ λ ’ cu ‘ t ’—este:

$$x = 2at(2t - 1), \quad y = 4at\sqrt{t(1 - t)}; \quad t \in [0, 1] \quad (1)$$

Considerăm punctele K_t și K_{1-t} provenite prin (1) din valori simetrice față de mijlocul $\frac{1}{2}$ al intervalului $[0, 1]$ pe care variază t ; vom demonstra mai jos următoarele proprietăți ale acestora:

- (a) $OK_t + OK_{1-t} = 2a$;
- (b) dreptele OK_t și OK_{1-t} sunt egal înclinate față de axa orizontală;
- (c) mijlocul segmentului K_tK_{1-t} aparține arcului de parabolă dat de $y = \sqrt{a(a - x)}$, $x \in [0, a]$ iar mediatoarea acestui segment trece prin vârful parabolei \mathcal{P} .



Într-adevăr, din substituțiile inițiale $x^2 + y^2 = at^2$ și $t \equiv 2\sqrt{a}t$ rezultă că $OK_t = 2at$, deci $OK_t + OK_{1-t} = 2at + 2a(1 - t) = 2a$.

Panta dreptei OK_t este $2\frac{\sqrt{t(1-t)}}{2t-1}$ și observând că transformarea $t \rightarrow 1 - t$ (prin care ajungem de la K_t la K_{1-t}) schimbă doar semnul acestei expresii, deducem că suma pantelor dreptelor OK_t și OK_{1-t} este zero, ceea ce este echivalent cu (b).

Mijlocul M_t al segmentului K_tK_{1-t} are coordonatele $x = a(2t - 1)^2 = a - 4at(1 - t)$ și $y = 2a\sqrt{t(1 - t)}$ și se vede imediat că satisfac $y^2 = a(a - x)$. Pe de altă parte, pentru distanța de la vârful acestei parabole la punctul

K_t avem: $\text{dist}^2((a, 0), K_t) = (2at(2t - 1) - a)^2 + 16a^2t^2(1 - t) = a^2(-4t^2 + 4t + 1)$; observând acum că expresia $-4t^2 + 4t + 1$ este invariantă față de transformarea $t \rightarrow 1 - t$, deducem că $\text{dist}((a, 0), K_t) = \text{dist}((a, 0), K_{1-t})$, ceea ce înseamnă că vârful parabolei \mathcal{P} se află pe mediatoarea segmentului K_tK_{1-t} .

Enunțul problemei rezultă interpretând proprietățile arătate mai sus. (a) spune că K_t și K_{1-t} sunt focarele unei elipse care trece prin O și are axa mare de lungime $2a$; după (b), dreptele care unesc O cu focarele menționate sunt egal înclinate față de Ox – deci Ox este tangentă în O elipsei. Conform (c), centrul acestei elipse aparține parabolei $y^2 = a(a - x)$, iar axa mică a elipsei trece prin vârful $(a, 0)$ al parabolei (și are lungimea $MV = 4at(1 - t)$ – ceea ce rezultă din triunghiul dreptunghic K_tMV în care avem $VK_t = a$, iar cateta MK_t se deduce plecând de la (1)).

Parabola $y^2 = a(a - x)$ *mediază* între arcele separate de Oy pe semicardioidă; cele câte două puncte astfel asociate sunt focarele unei elipse tangente în O axei Ox (iar panta axei focarelor este $\sqrt{\frac{b}{a}}$, unde $b = MV = 4at(1 - t)$).

Obs. Ultima figură a fost produsă folosind *MetaPost* (și apoi, `ps2pdf`), cu următorul „preambul”:

```

prologues:=3;
verbatimex
  \documentclass[11pt]{article}
  \usepackage{lmodern}
  \usepackage{amssymb,amsmath}
  \begin{document}
etex

```

În baza acestui „preambul”, `mpost` (compilatorul de *MetaPost*) cu opțiunea `-tex=latex`, a „știut” singur cum să integreze în figură notația matematică LaTeX prevăzută (prin comenzi `label`) între `btex` și `etex` (în timp ce lucrând în *PostScript*, trebuia pentru aceasta să procedăm cum am arătat în §5; și `mpost` procedează cam tot ca în §5, dar „automat”, fără intervenții suplimentare din afară). Din punct de vedere practic ar fi deci mai avantajos—pentru a realiza figuri geometrice adnotate matematic—să folosești *MetaPost*, în loc să folosești direct *PostScript* (doar că fișierul rezultat este de 3–4 ori mai mare).